



**CDR**

Groupement  
de recherche

**MI2B** Outils et méthodes nucléaires  
pour la lutte contre le cancer

# Pôle méthodes et instruments en imagerie biomédicale Highlights

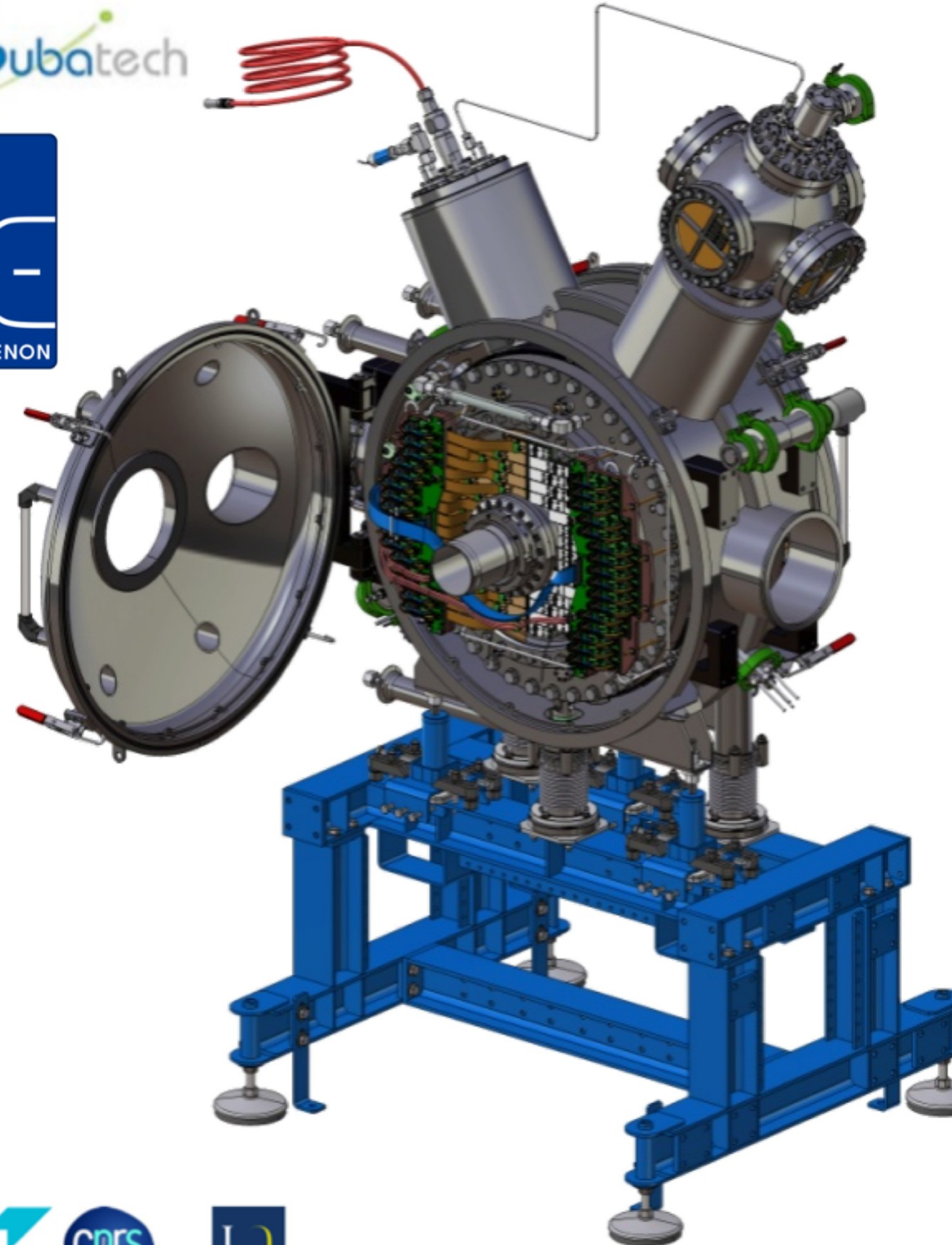
Marc-Antoine Verdier (IJCLab), Mathieu Dupont (CPPM)

AG MI2B  
27-28 septembre 2021

## Présentations

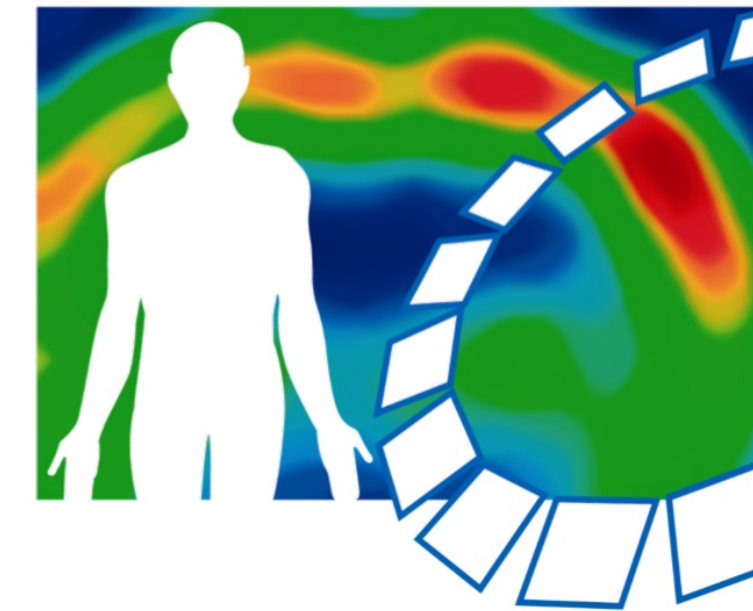
- Floriane Cannet (CPPM) : Etude longitudinale de l'effet de différents traitements pour le carcinome hépatocellulaire chez la souris assistée par l'imagerie à rayons X
- Laurie CAPPELLUGOLA (CPPM) : Modelisation of light transmission through surfaces with thin film optical coating in Geant4
- Enrique Muñoz (IP2I) : Enhancement of Compton imaging of polychromatic sources through spectral reconstruction
- Safaa Tahri (LTSI) : Image and dose uncertainties of a deep learning method for prostate MRI-only radiotherapy
- Annonce : Organisation d'un workshop sur l'imagerie Compton : 30/11 – 01/12 au CPPM (indico à venir)

Subatech



Depuis 80 ans, nos connaissances  
bâtissent de nouveaux mondes

Mi2b



## XEMIS2

Jean-Pierre Cussonneau ([jean-pierre.cussonneau@subatech.in2p3.fr](mailto:jean-pierre.cussonneau@subatech.in2p3.fr)),  
Dominique Thers ([dominique.thers@subatech.in2p3.fr](mailto:dominique.thers@subatech.in2p3.fr))  
et al.,

Assemblée Générale  
27-28 Septembre 2021



**Debora Giovagnoli**

Image reconstruction for  
three-gamma PET imaging

Données simulées Geant4

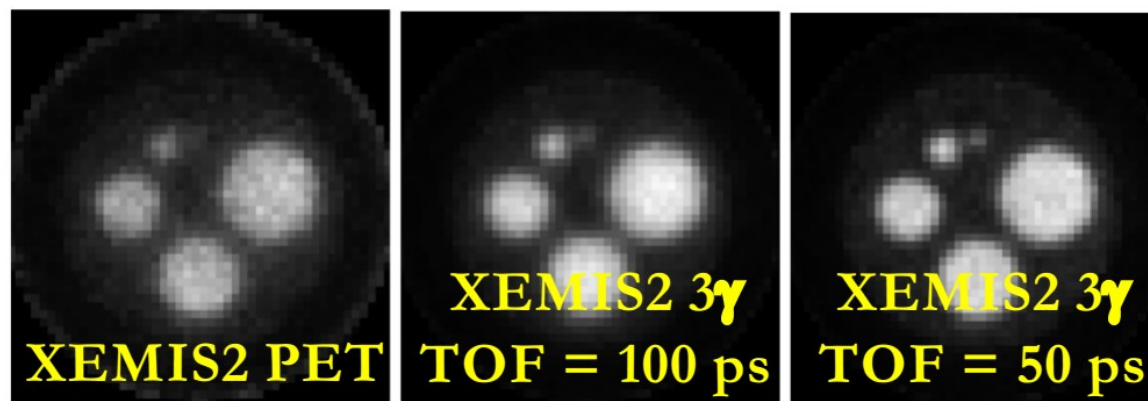
Reconstruction CASToR

Sphères chaudes rayon 2, 4, 8, 10, 12 mm

$^{44}\text{Sc}$  fixé avec contraste 15 sur fantôme

**20 kBq, temps de pause 20 mns**

Reconstruction ML-EM



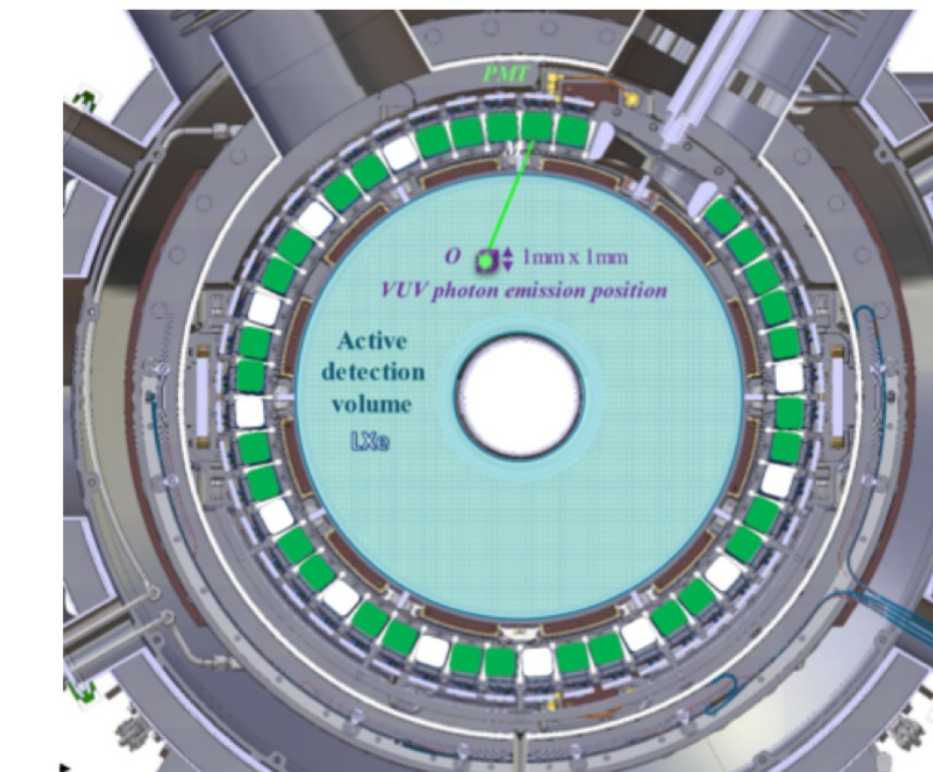
Bonnes images pour les 3 modalités  
Code de reconstruction disponible



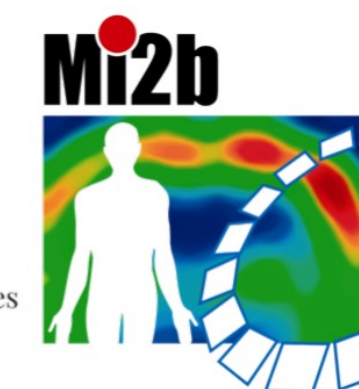
## Théses soutenues sur XEMIS2

**Yuwei Zhu**

Développement de la caméra  
Compton au xénon liquide XEMIS2  
pour l'imagerie 3-gamma:  
études et optimisation des mesures  
de la lumière de scintillation

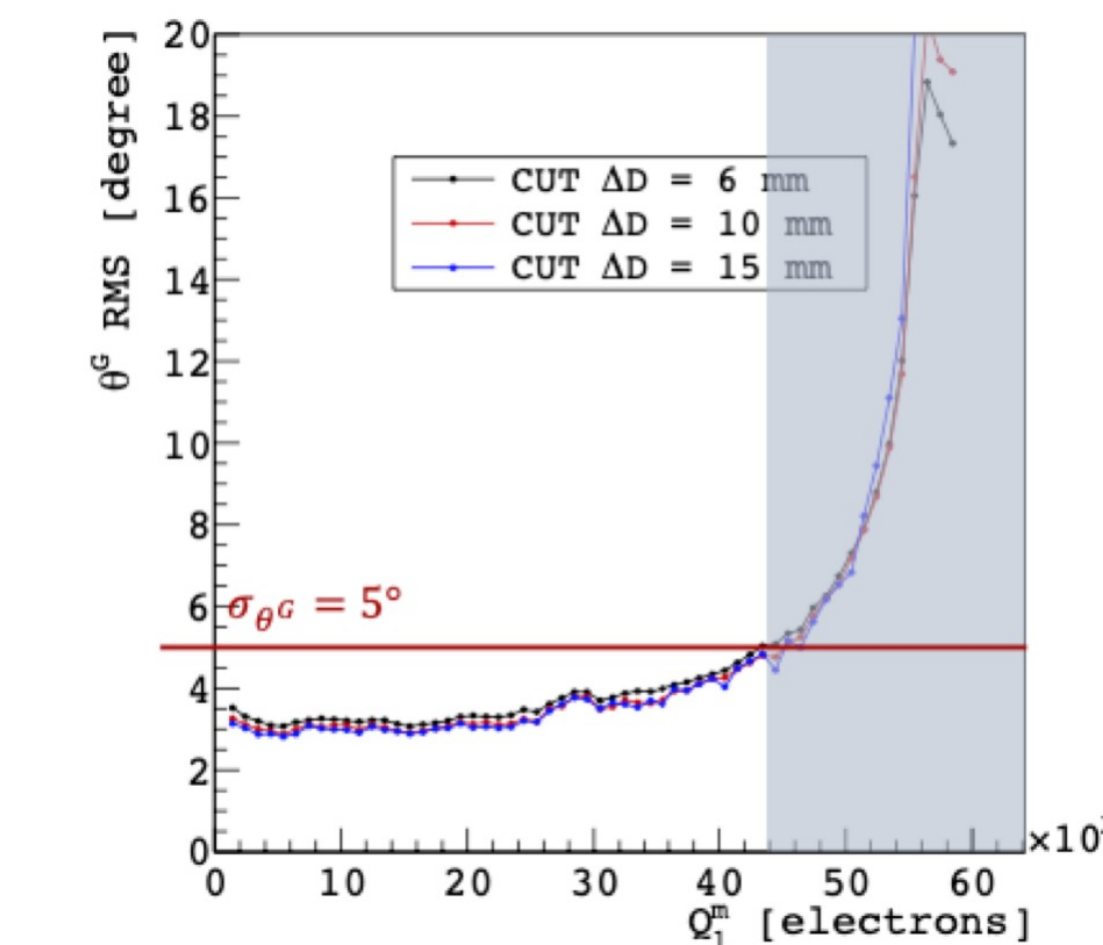


La couverture en surface de photo-  
détecteurs permettra l'image à 20 kBq  
L'activité pourra être augmentée en  
augmentant la surface instrumentée



**Yajing Xing**

Études et optimisation de la mesure  
du signal d'ionisation dans la caméra  
Compton au xénon liquide XEMIS2  
pour l'imagerie 3gamma



Résolution angulaire proche de 3°  
sur un large domaine angulaire

# Installation/qualification de XEMIS2 au CHU-CIMA de Nantes



Mobilisation importante en 2021-22 (~ 10 ETPs)

Objectif Gestion du projet :

Installation jusqu'en mars 2022

Exploitation à partir d'octobre 2022

Assemblée Générale GDR MI2B, 27-28 Septembre 2021

# The CLaRyS collaboration

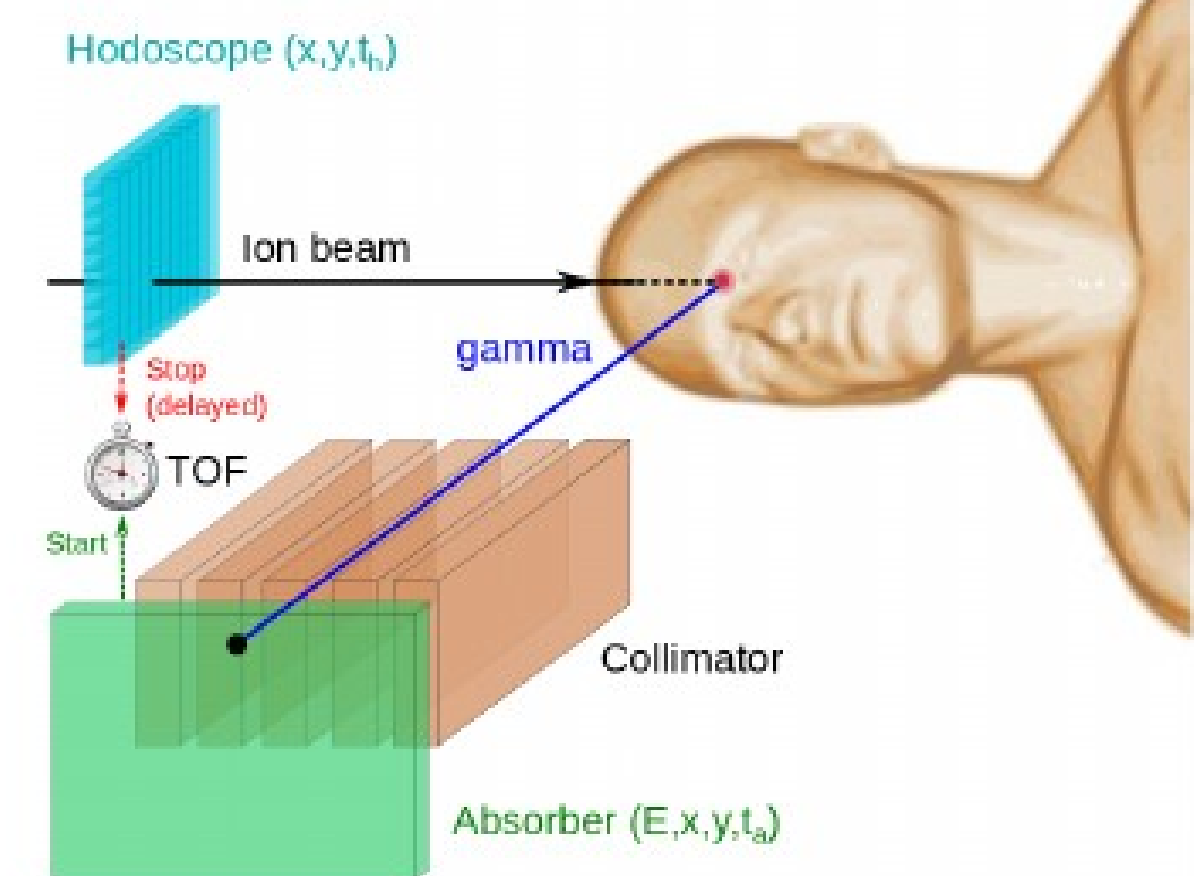
---

- 4 labs
  - 3 IN2P3 labs: [CPPM](#), [IP2I](#), [LPSC](#) + [CREATIS](#) (Biomedical imaging lab in Lyon)
- Objectives
  - Contrôle en Ligne de l'hadronthérapie par détection de Rayonnements Secondaires
- Current projects
  - [Gamedi](#): collimated and Compton cameras with TOF
  - [CLaRyS-UFT](#) (on-going “Physique Cancer” project): TOF-Compton camera with ultra fast timing (UFT)
  - [PGPI](#): PG counting in a few detectors around the patient
  - [TIARA](#) (starting “Physique Cancer” project): PG emission vertex reconstruction by means of TOF
- Strengths
  - Synergy between the projects
  - Same acquisition system (AMC40 board,  $\mu$ TCA standard)
  - Common Monte Carlo simulations tools (Geant4, GATE)

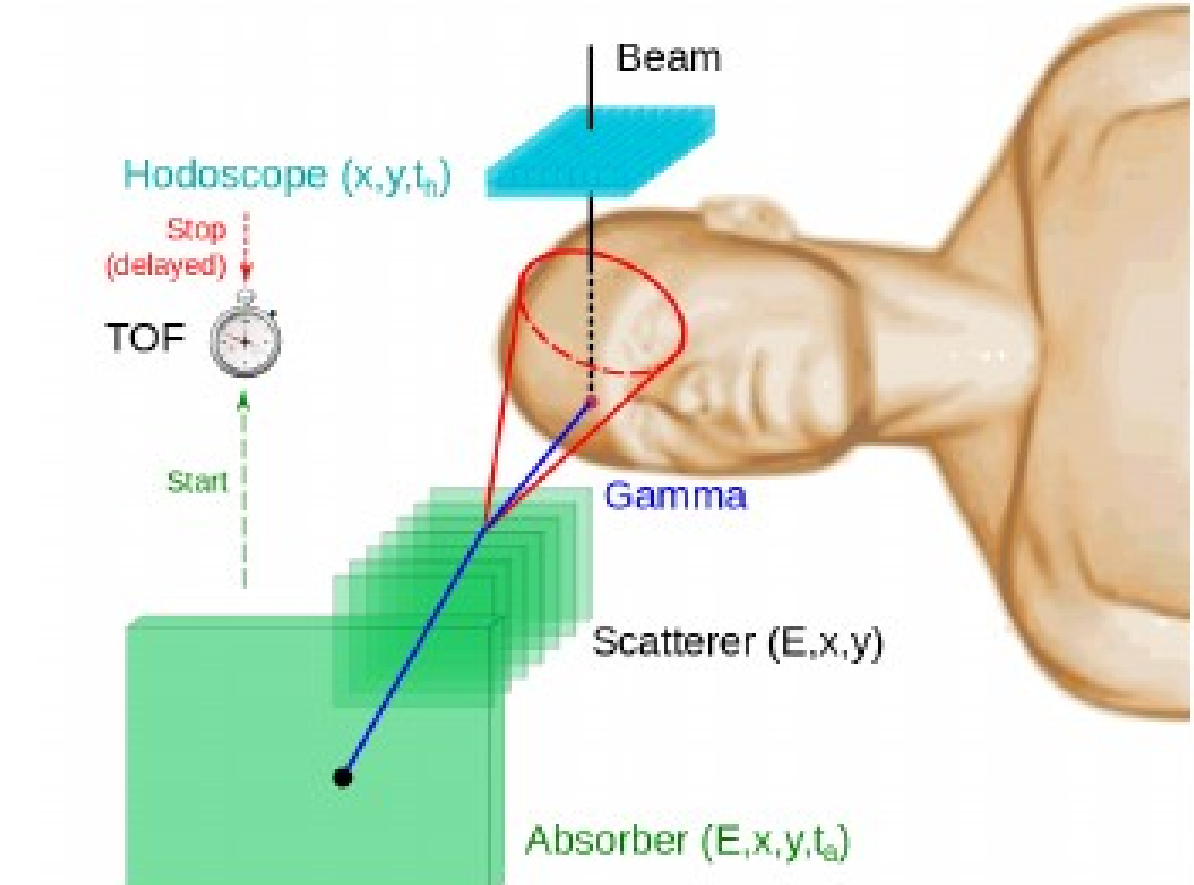
# The Gamedi projet

- The Gamedi project: Gamma cameras for medical applications
  - Multi parallel-slit camera (MPS) + Compton camera (CC)
  - Compton camera also considered for nuclear imaging (diagnostics)
- Positioning wrt state of the art
  - MPS:
    - Similar efficiency as the one of KES but measurement of the whole PG profile
    - Background reduction with TOF
  - CC
    - Hodoscope: Line-cone reconstruction + TOF
    - Perspectives of UFT (project CLaRyS-UFT)
    - Use of relatively thick silicon detectors (2 mm)
    - Perspective of detection efficiency enhancement (factor  $\sim 50$  wrt collimated cameras)

Multi parallel-slit cam.

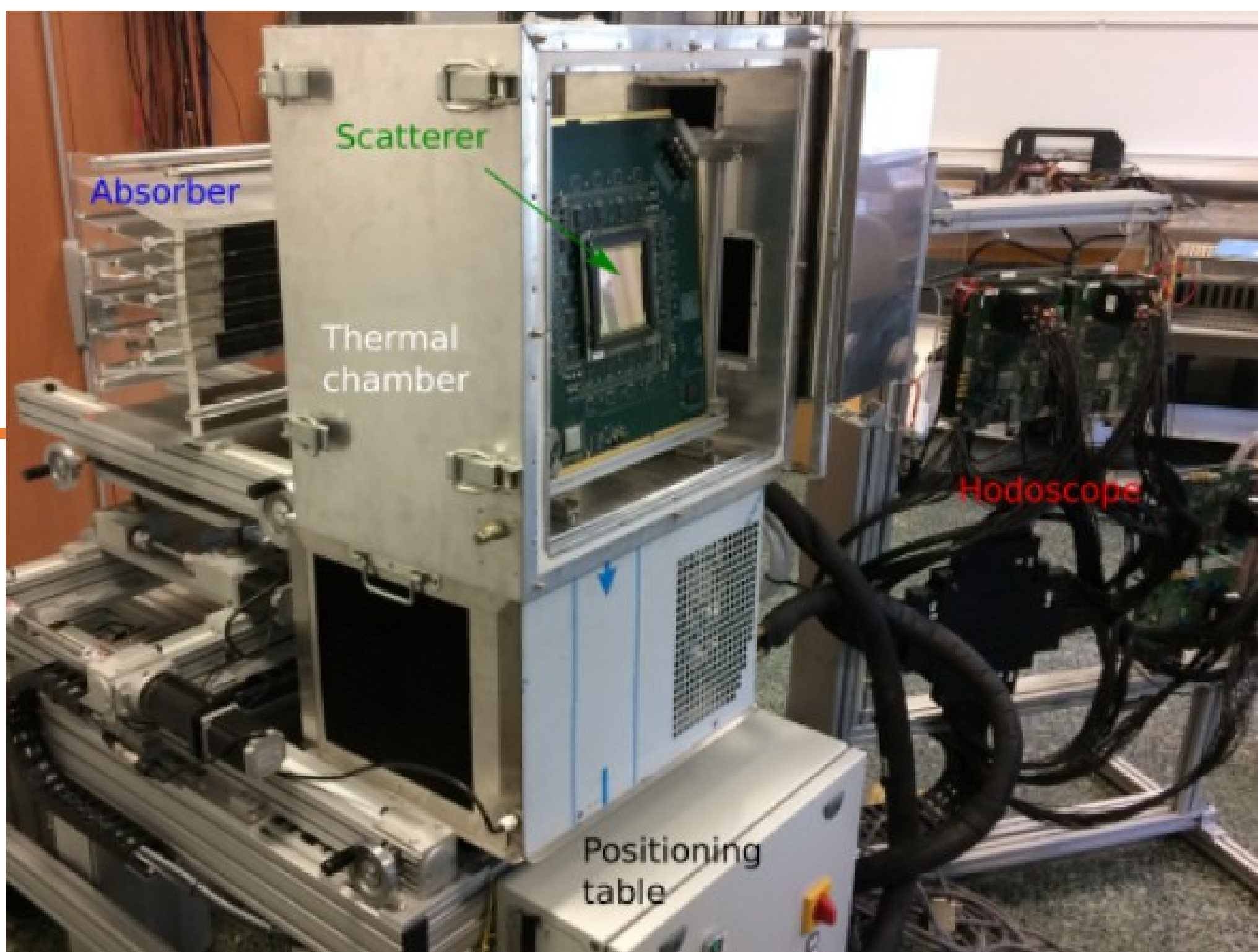


Compton camera



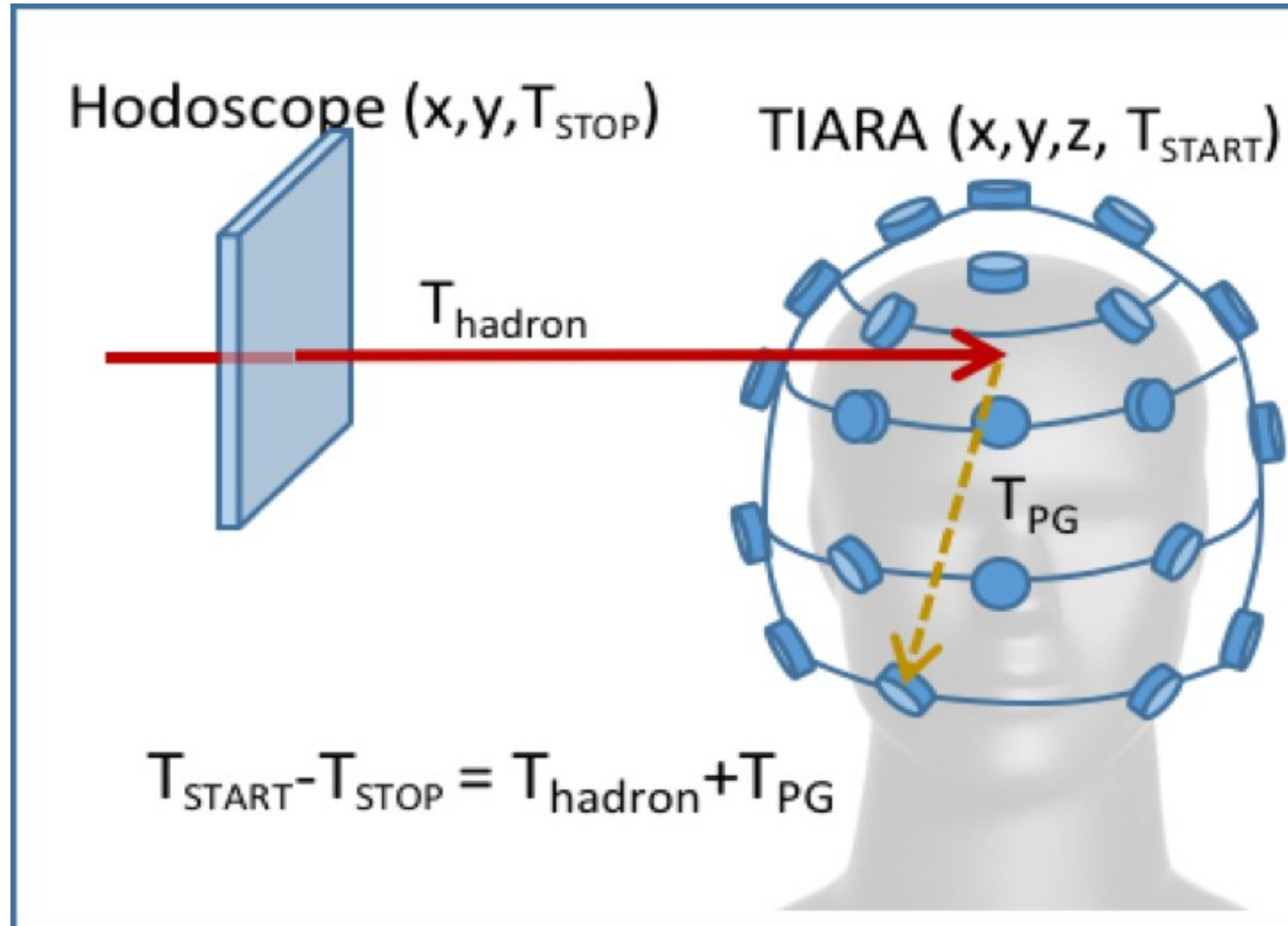
# The Gamedi project

- **Demonstrators**
  - Common beam **hodoscope** (scintillating fibers) and absorber (BGO)
  - **Common acquisition system and software**
  - Scatterer of the CC: 7 double sided silicon detectors
  - Collimator of the MPS: Tungsten alloy
- **Current status**
  - “**Small hodoscope**” and absorber characterized (lab+in-beam tests)
  - Planned for 2021: CC **scatterer firmware + integration** in the CLaRyS acquisition
- **Perspectives**
  - Instrumentation
    - Further instrumentation developments within Oreste Allegri's PhD (Fall 2022)
    - **Beyond 2022: instrumentation developments questionable** (lack of (mainly human) resources)
  - MC simulations
    - **Further collaborations** with CREATIS, LPSC, CPPM, IFIC (Valencia), Subatech (XEMIS) to investigate/further optimize CC (and PGPI, TIARA...)



# TIARA: TOF Imaging ARrAy

(3D imaging of PG vertex through the exclusive measurement of TOF)



## Pixel detector: Cherenkov radiators + SiPM

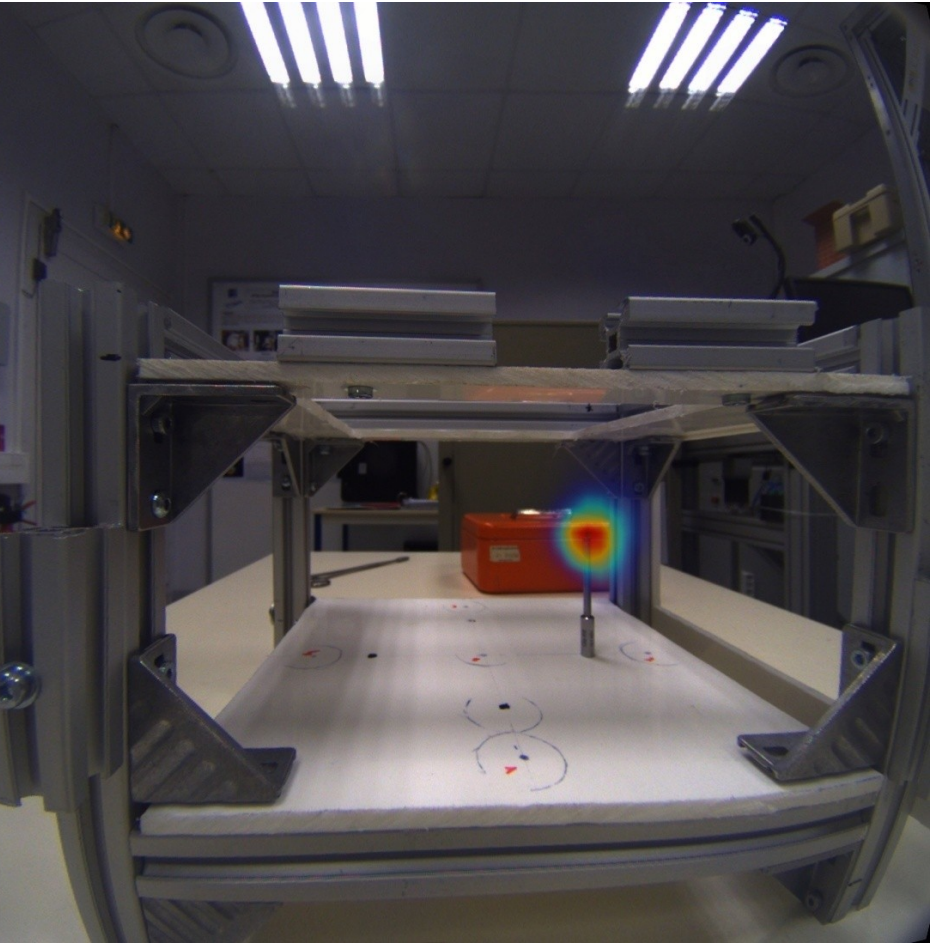
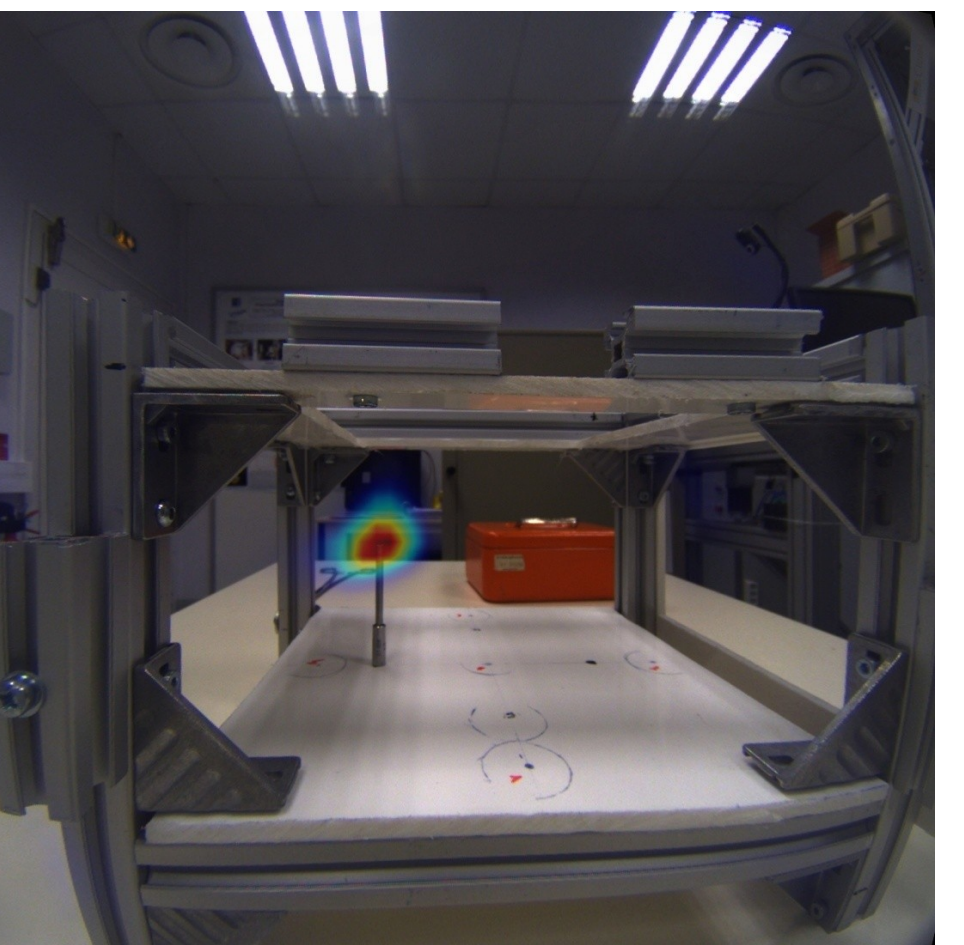
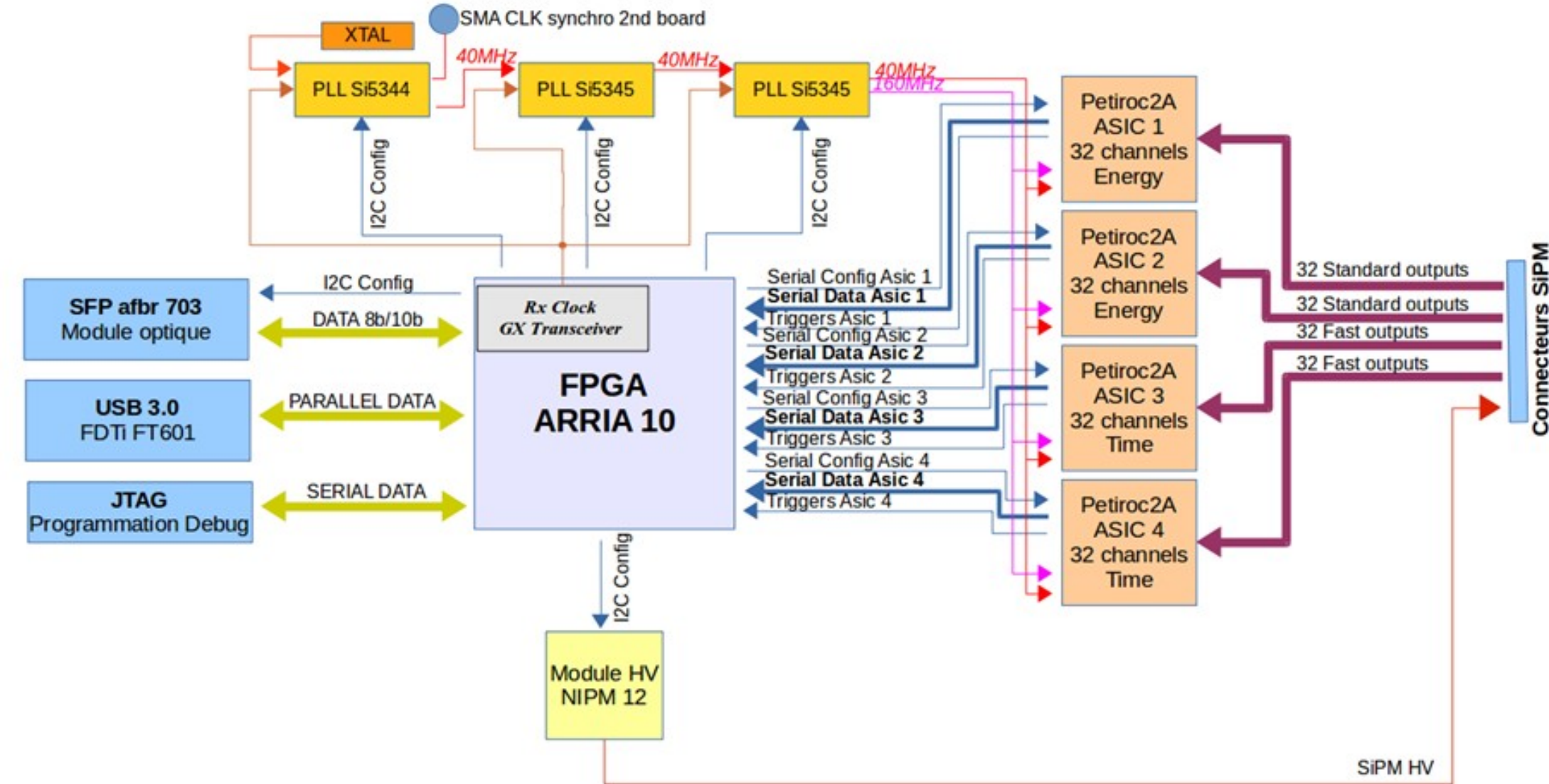
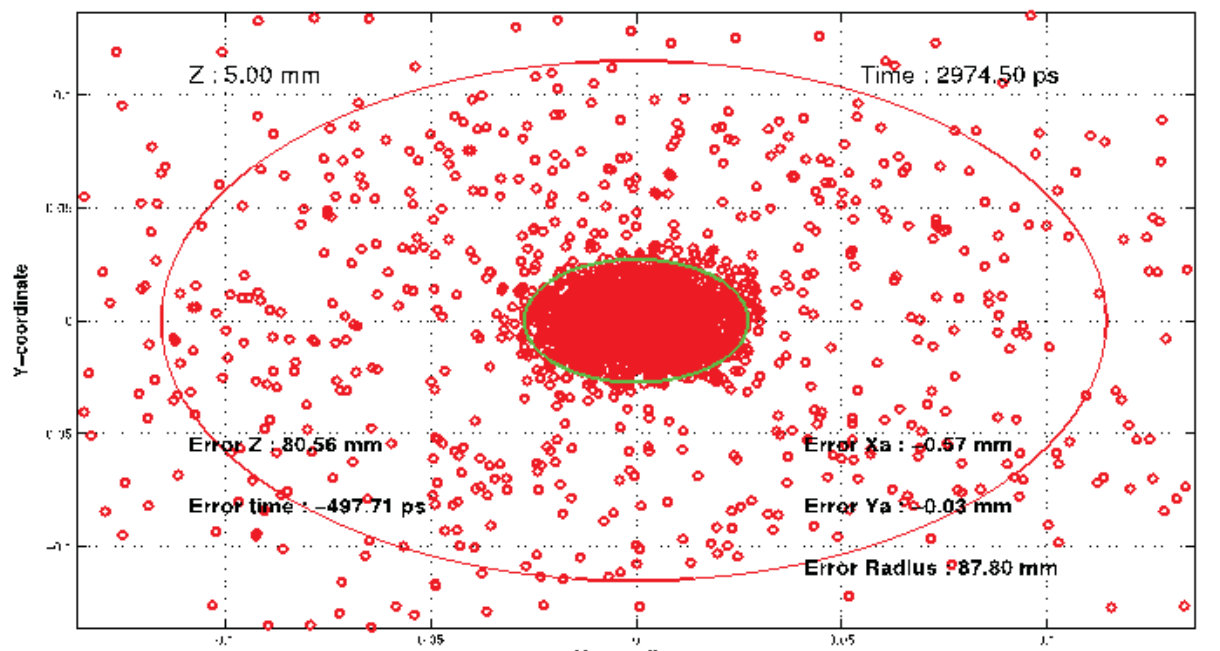
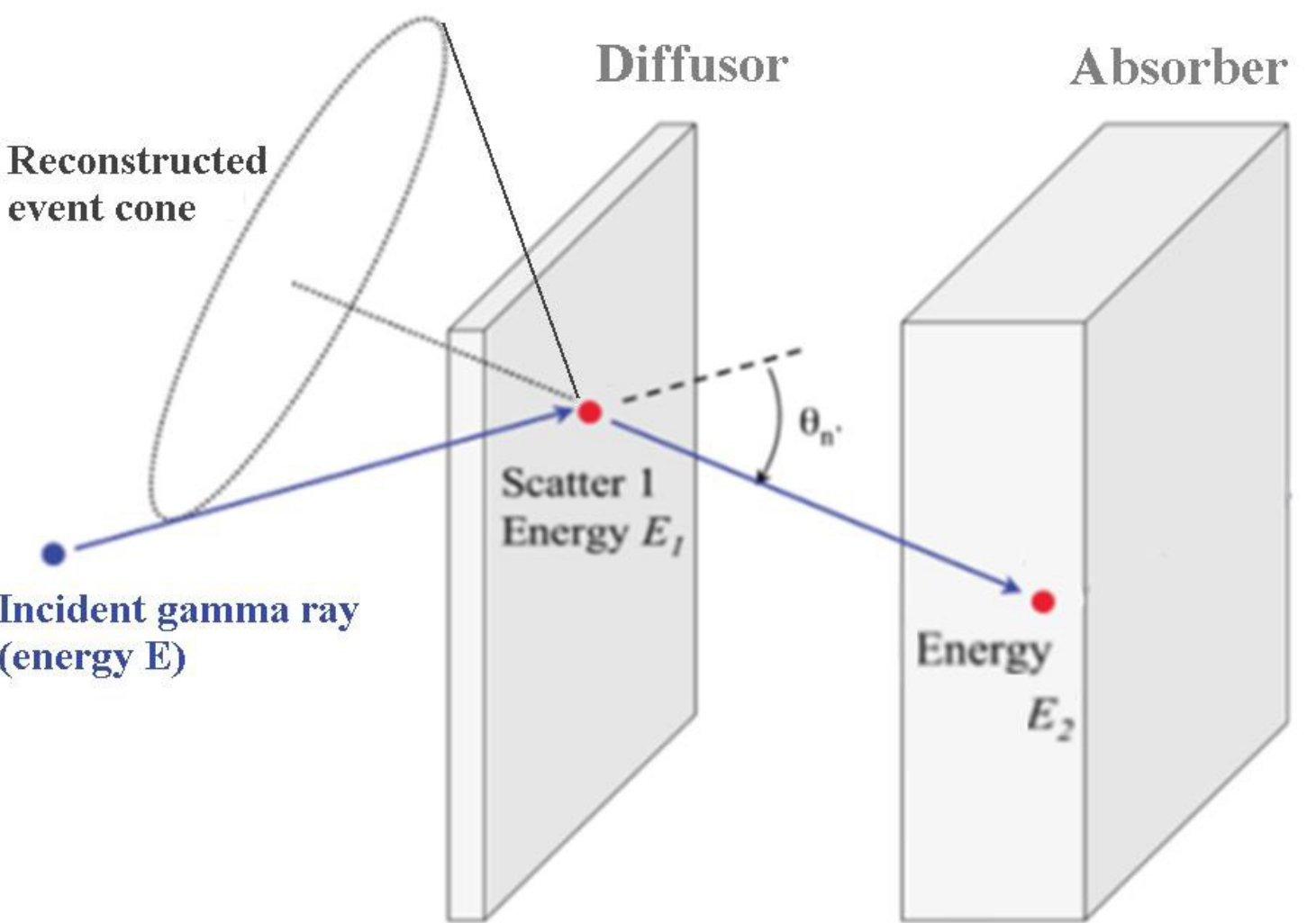
- TOF resolution better than 100 ps rms
- No energy measurement
- Excellent background rejection through
  - ✓ TOF
  - ✓ Cherenkov threshold

- 3D reconstruction will allow to obtain an image of the Prompt Gamma vertex distribution

# Projet TEMPORAL (2016 - 2021)

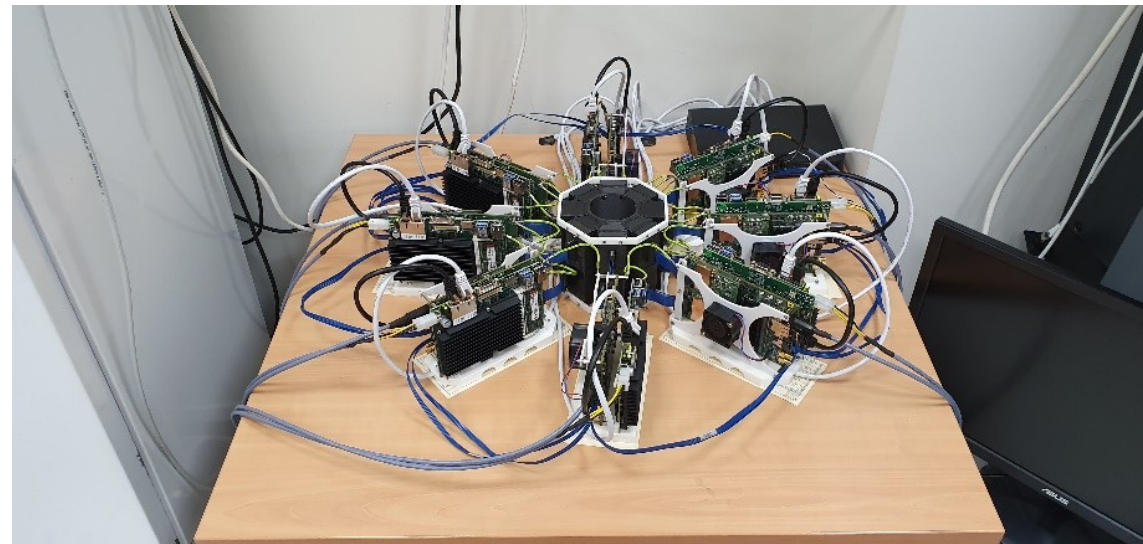


- Développement d'une caméra Compton pour le démantèlement nucléaire basée sur une méthode d'imagerie temporelle



# Question: impact de l'approche instrumentale (choix technologiques) sur les performances des systèmes TEP précliniques ?

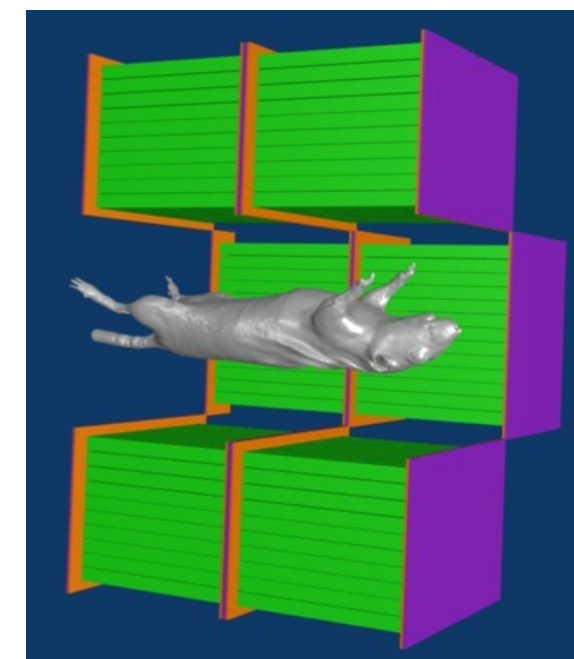
**Approche géométrique:**  
**2D: approche dual layer**



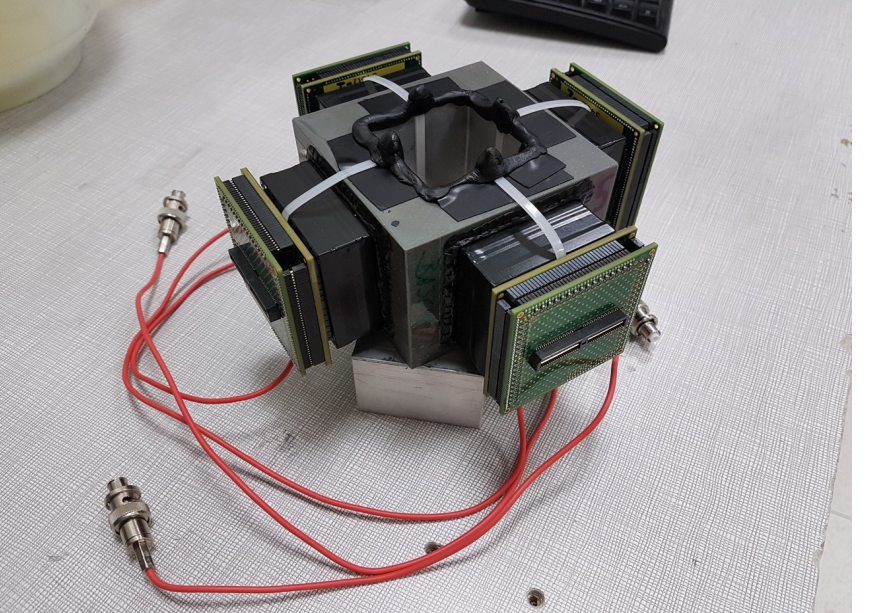
Projet DigiPET  
Financement BPI - Région  
Partenaire Inviscan

Salvador S et al. 2009, 2010  
Fang X et al. 2010, 2011, 2012  
Ollivier-Henry N et al. 2010  
Brard E et al. 2013  
Brasse D et al. 2010, 2015  
Boisson F et al. 2017  
Brasse D and Boisson F 2019

**Approche géométrique:**  
**2,5D: approche classique + DOI (radiale ou axiale)**

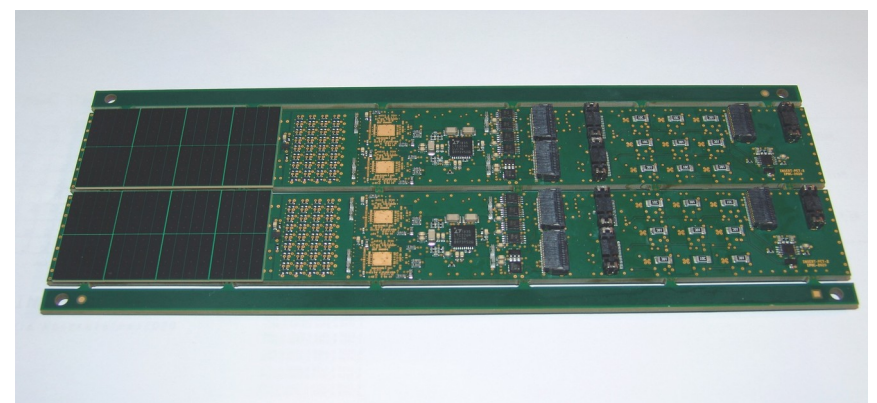


**Approche géométrique:**  
**3D: bloc continu**



Projet JackPET

**Compatibilité IRM**



Projet InsertPet  
Financement CPER I2MT  
Collaboration ICube

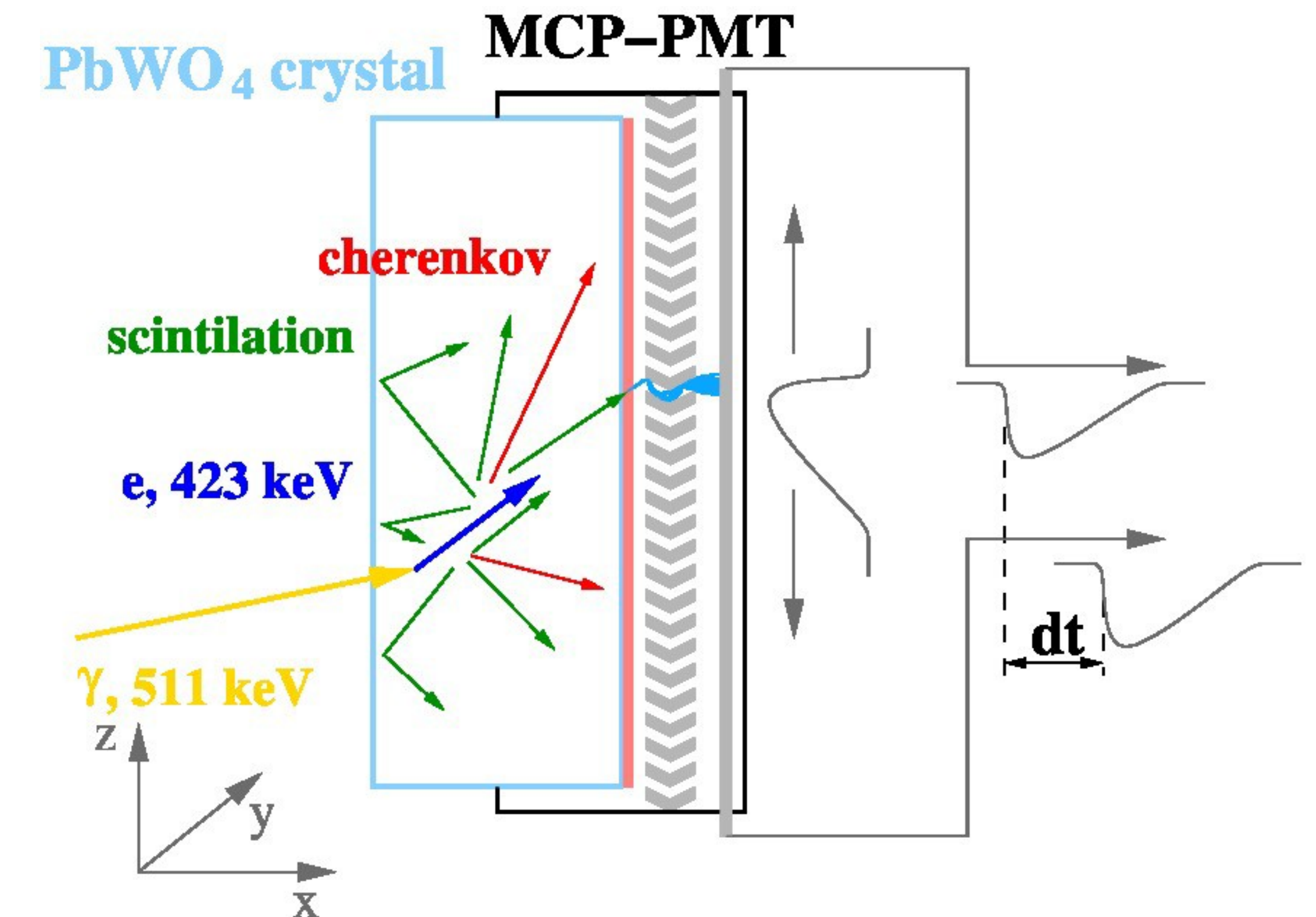
**Développement DAQ modulaire (ASICs IMOTEP + FPGA)  
Lecture MA-PMT & SiPM**

Vers la clinique : TOF (Défis 10ps), solutions instrumentales alternatives, IA

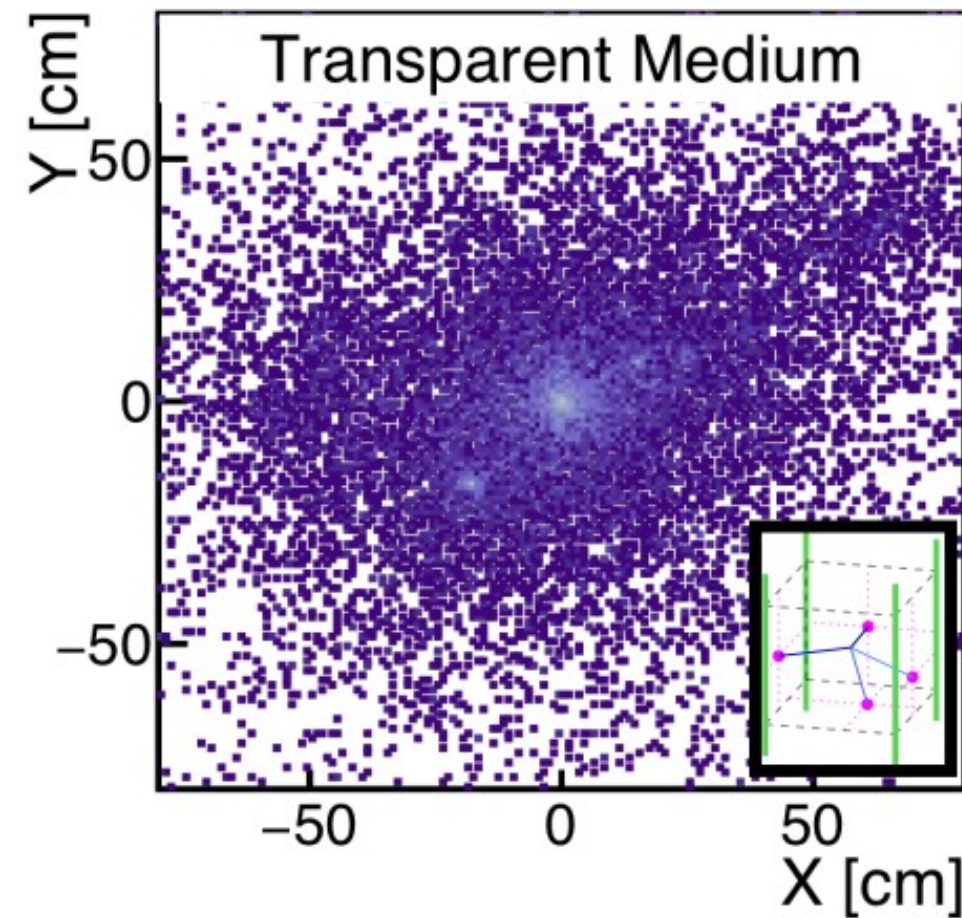
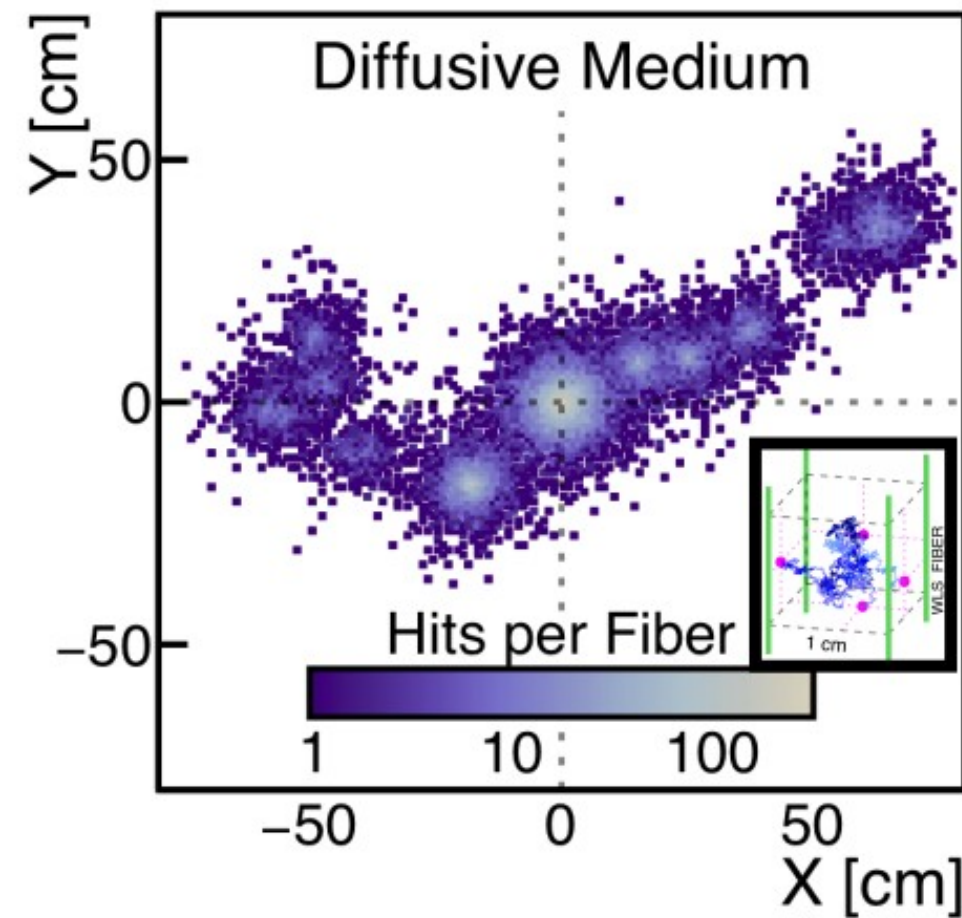
# Projet ClearMind (ANR 2019 - 2022)

Développement d'un cristal « scintronique » pour les applications d'imagerie ultra-rapide de rayons gamma

- Détection des photons Cerenkov émis dans le  $\text{PbWO}_4:\text{Y}$
- Dépôt d'une photocathode ( $n \sim 2,7$ ) par évaporation directement sur la surface du cristal ( $n \sim 2,3$ )
- Amélioration de l'efficacité de collection optique sur la photocathode (**x4**)
- Encapsulation dans un tube multiplicateur à galette de micro-canaux (MCP-MT)
- CRT  $\sim 20$  ps FWHM (hors MCP-MT)
- Simulation / validation sur tomXgam

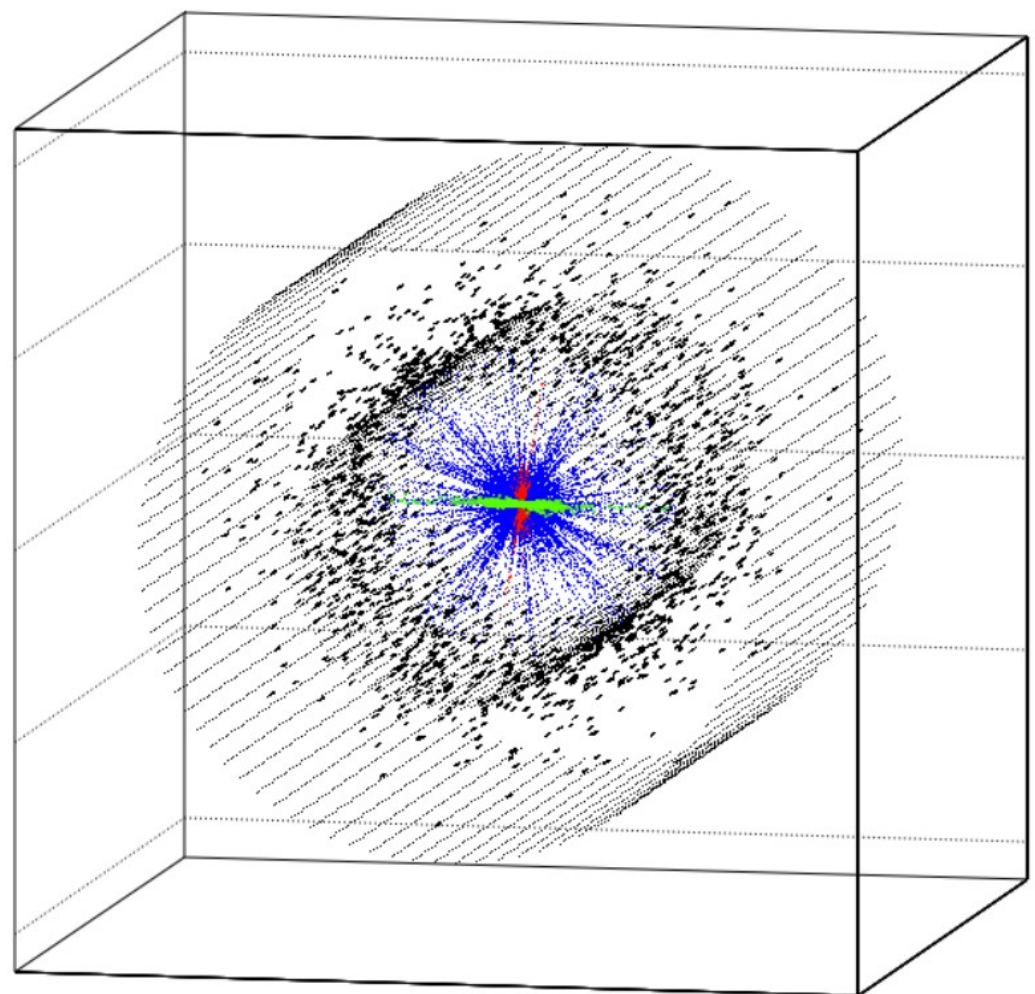


# LPET : Novel Positron Emission Tomography with Liquid Opaque Detection Technology



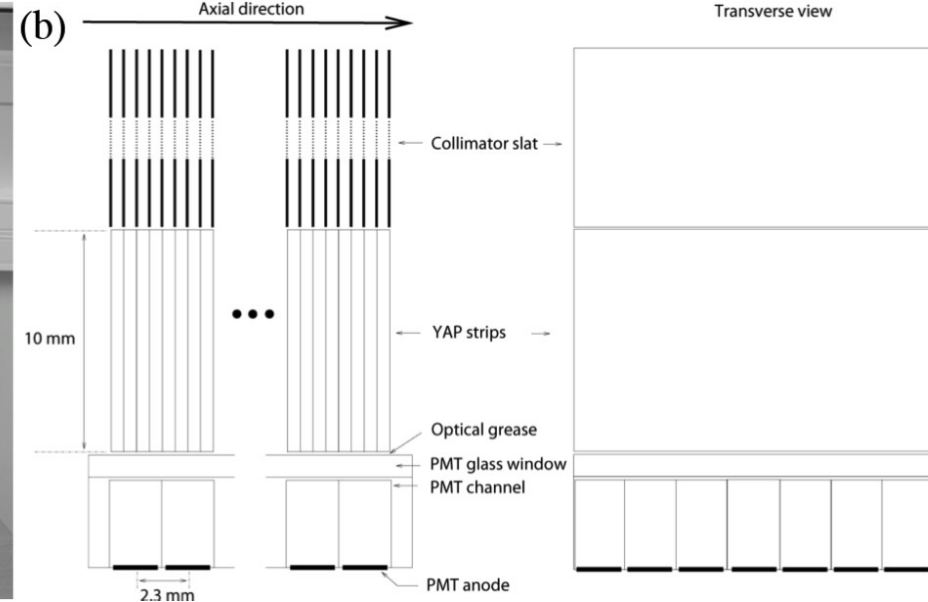
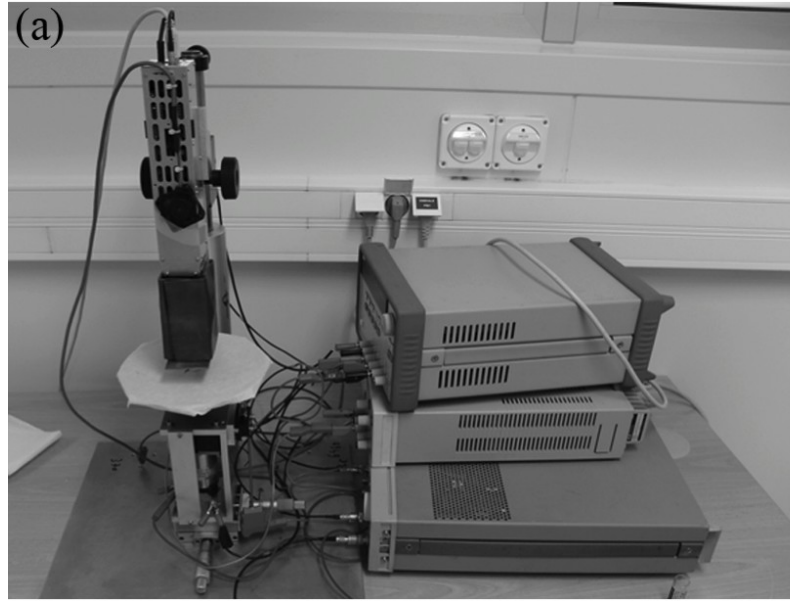
- Démonstrateur PET basé sur la technologie LiquidO [1]
  - Scintillateur liquide opaque
    - Parcours moyen des photons optiques nul
    - Boule de lumière pour chaque interaction
  - Lecture par un réseau de fibres WLS et SiPM
  - Électronique de lecture rapide (Sampic)
  - Reconstruction 3D des multiples Comptons
- Étude des possibilités multi-gamma  
( $\geq 2$ , prompts et retardés)

Projet ANR Tep-O-Tech 2022-2025 CNRS  
(IJCLab, IPHC et Subatech) et INSERM (LATIM)

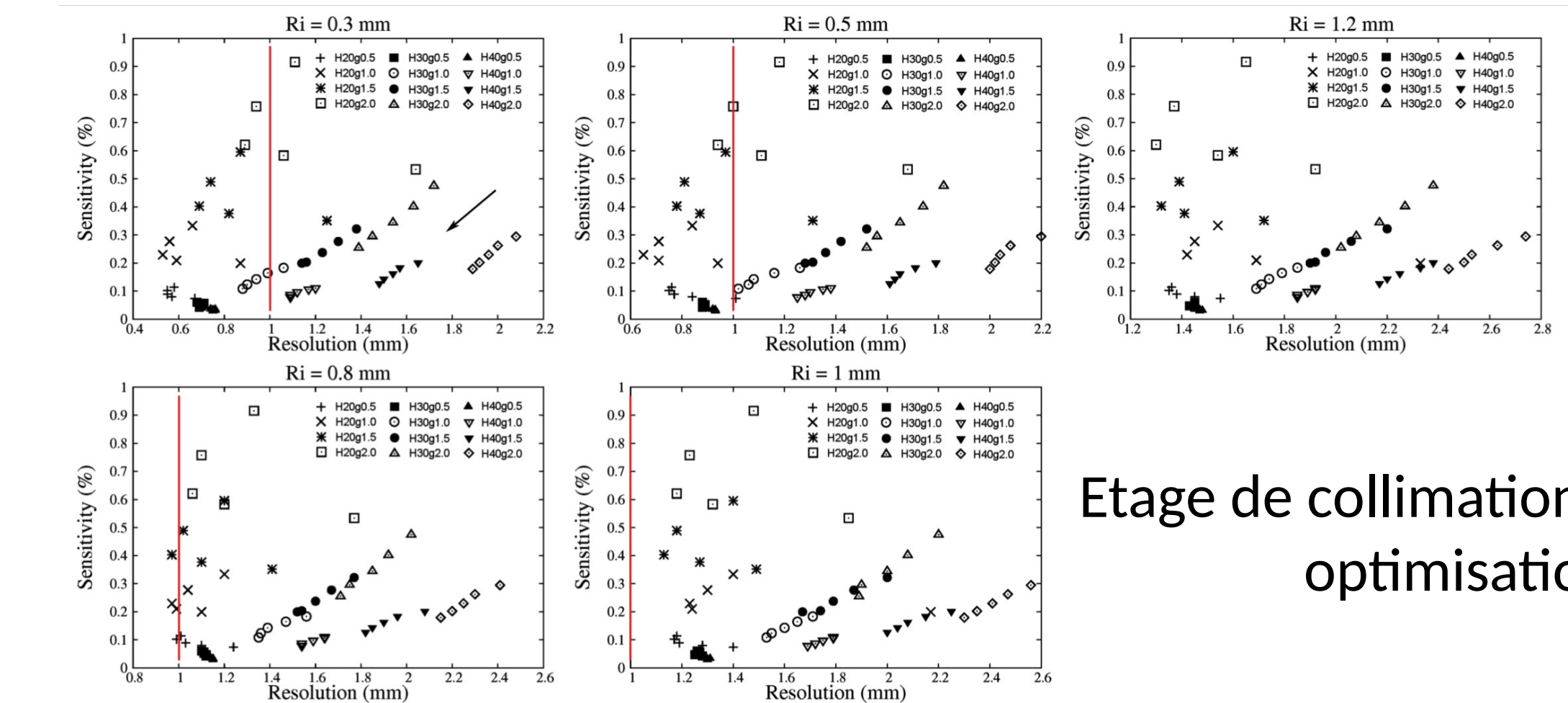


[1] <https://arxiv.org/abs/1908.02859>

# Question: impact de l'approche instrumentale (choix collimation) sur les performances des systèmes TEMP précliniques ?

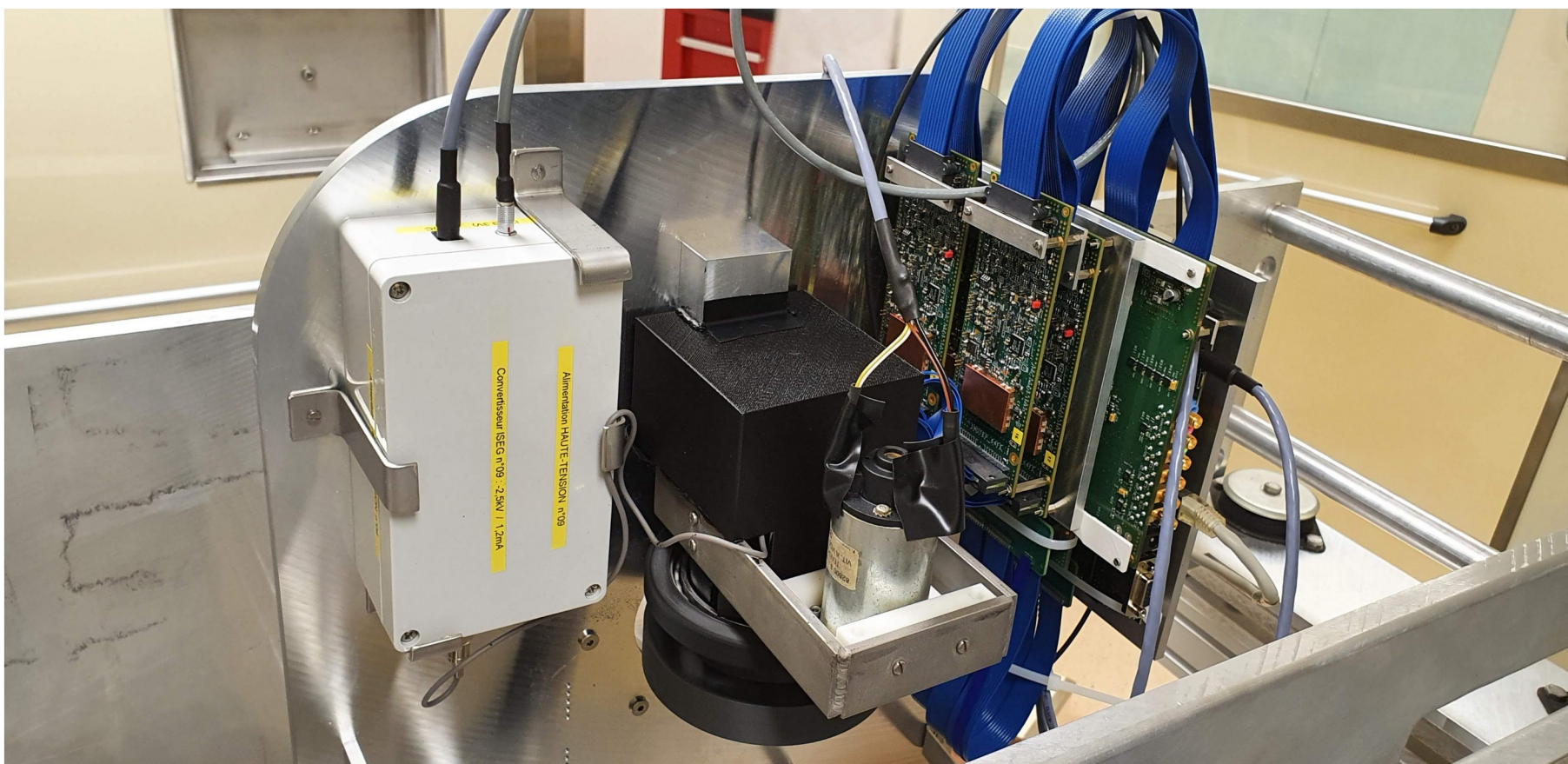


Premier prototype, rotation de l'ensemble du détecteur (crystal segmenté en 1D)



Boisson et al. 2011, 2015, 2016

Etage de collimation et résolution intrinseque:  
optimisation des paramètres

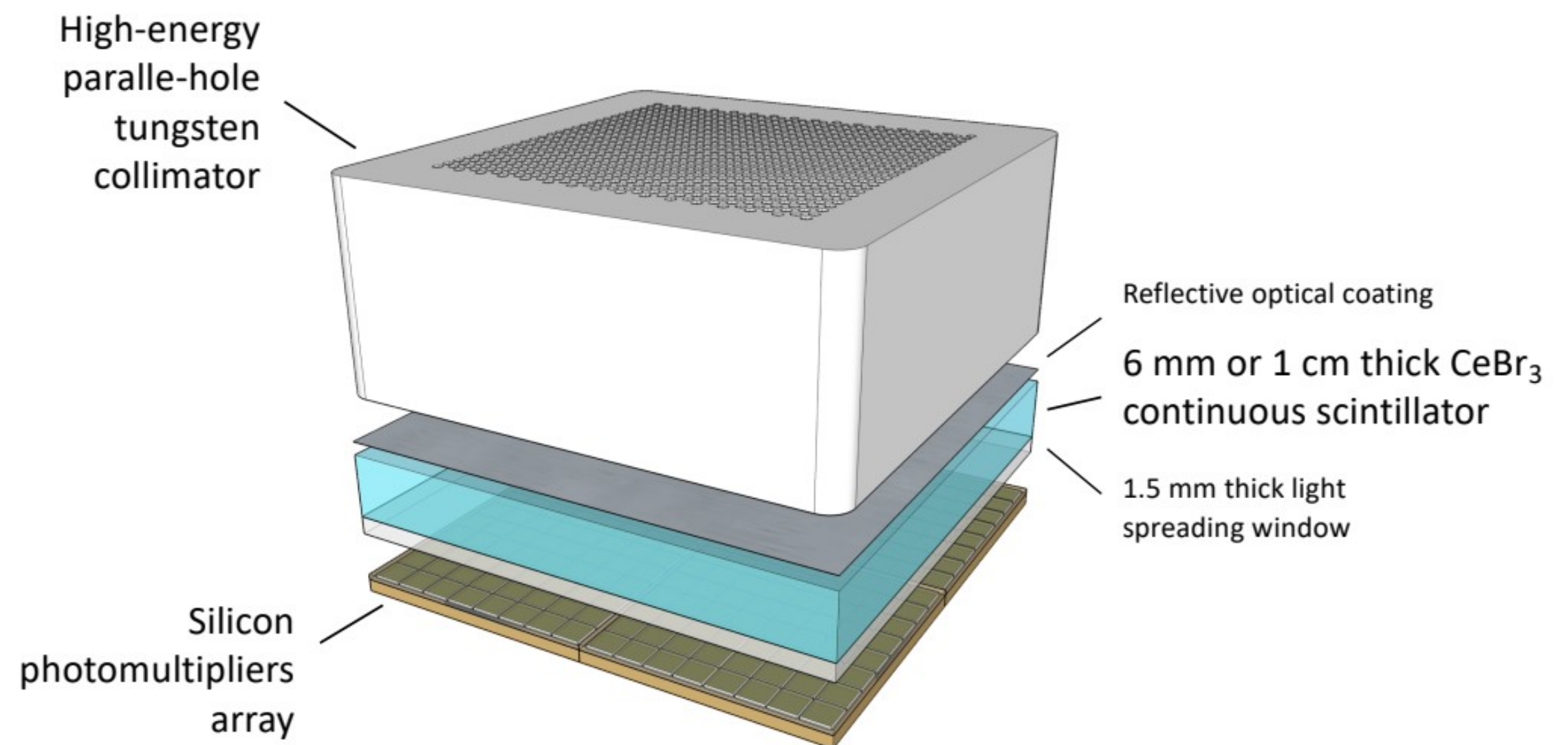


## Prototype actuel:

- $50 \times 50 \times 6 \text{ mm}^3$  CeBr<sub>3</sub> monolithique (Scionix, Netherlands)
- H9500 MA-PMT
- DAQ (IMOTEP + FPGA)
- Collimation à lames parallèles ( $g=2\text{mm}$ ,  $H=20\text{mm}$ )

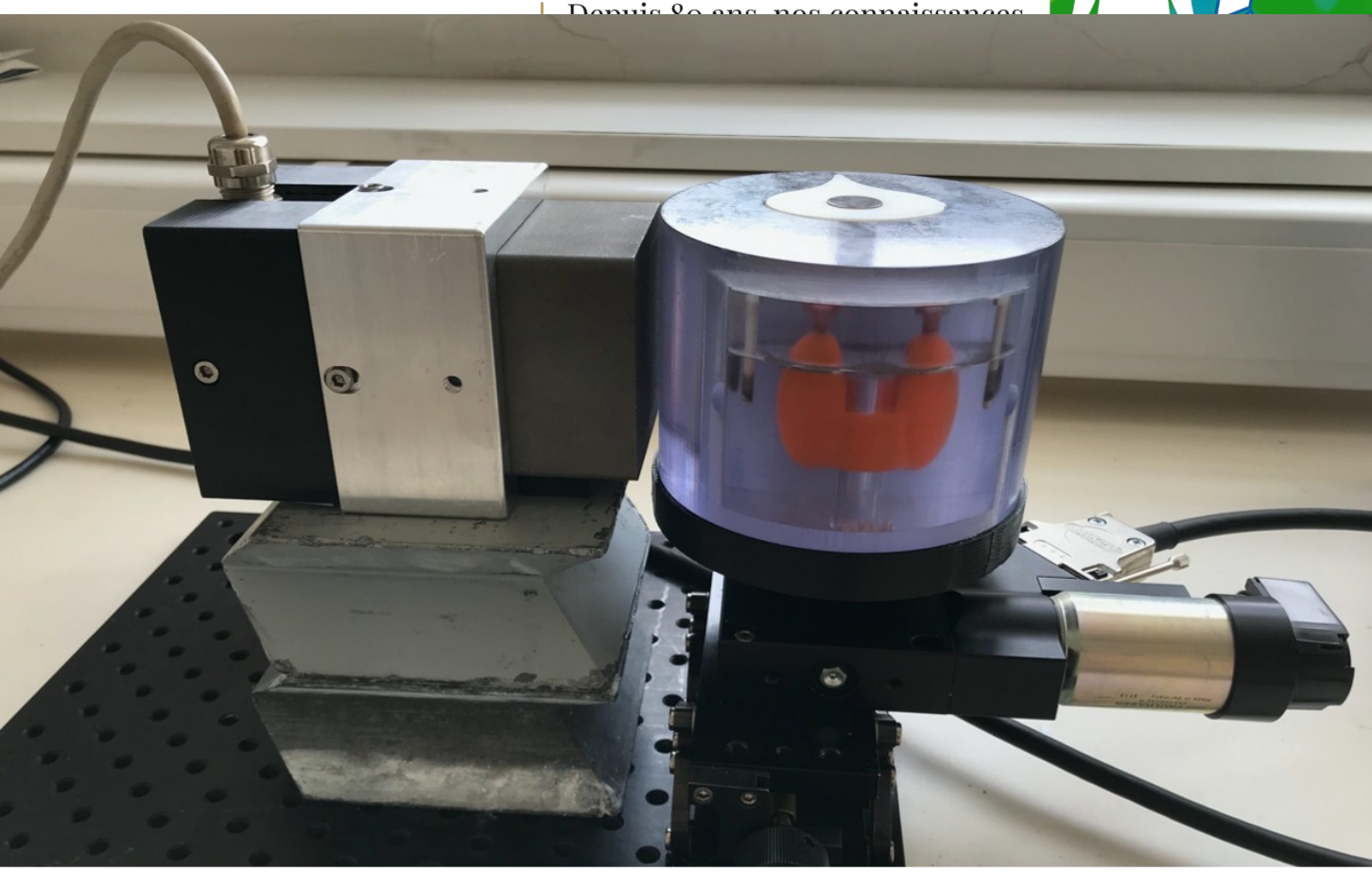
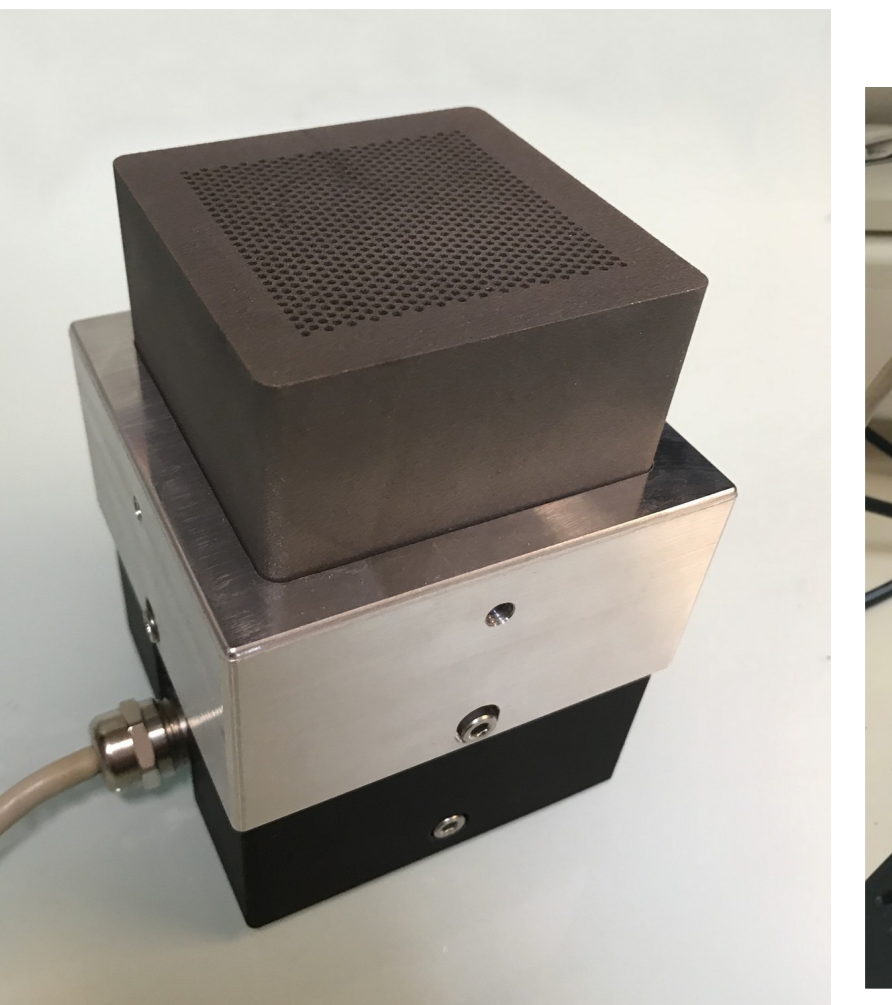
# Thidos: Une gamma-caméra portable pour l'optimisation de la dosimétrie des patients pour thérapies par radio-iode des maladies de la thyroïde

- Nouvelles approches instrumentales et méthodologiques :
  - 1) Conception, développement et calibration d'une gamma-caméra ambulatoire à haute résolution spatiale.
  - 2) Analyse de la fiabilité et de la qualité du calcul de la dose basée sur l'intégration de différentes données fonctionnelle, anatomique et pharmacocinétique.

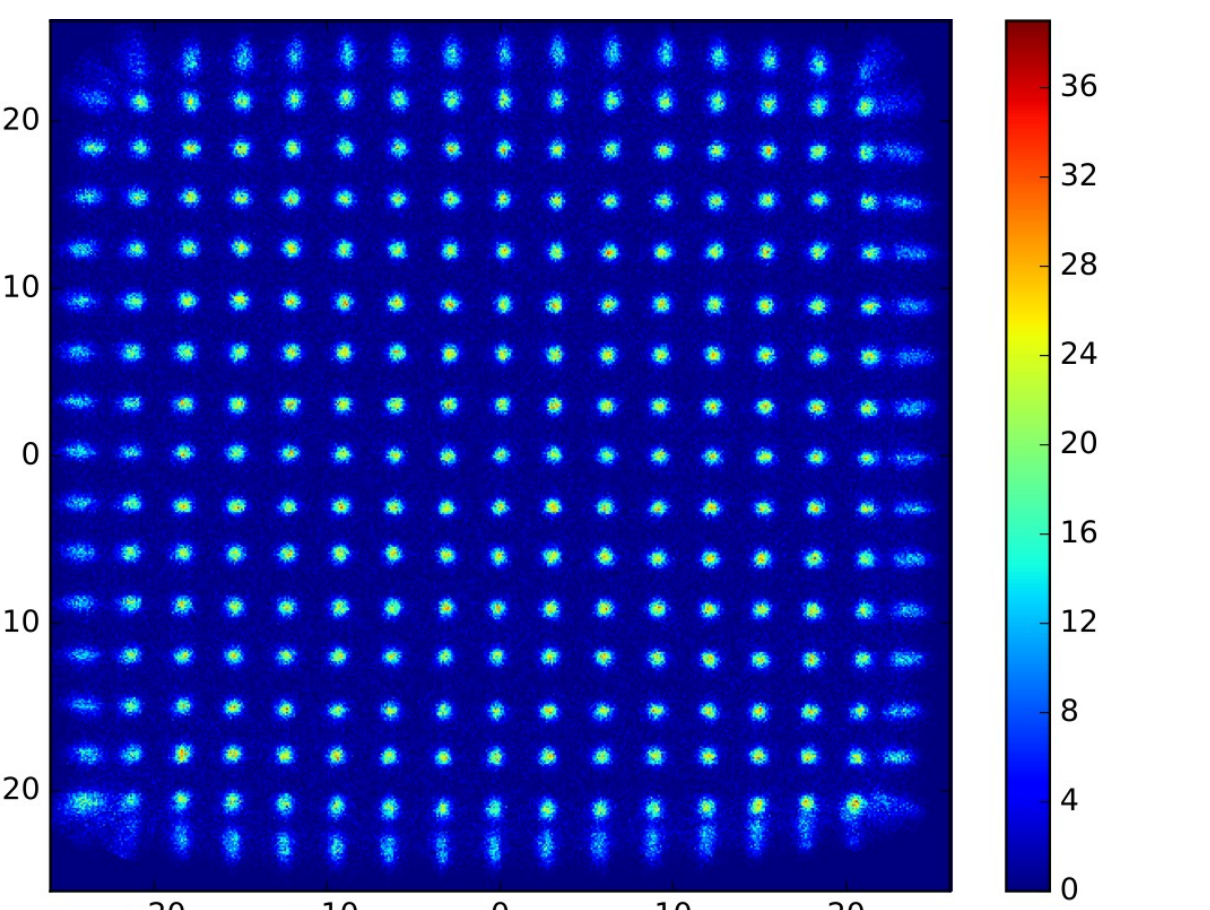
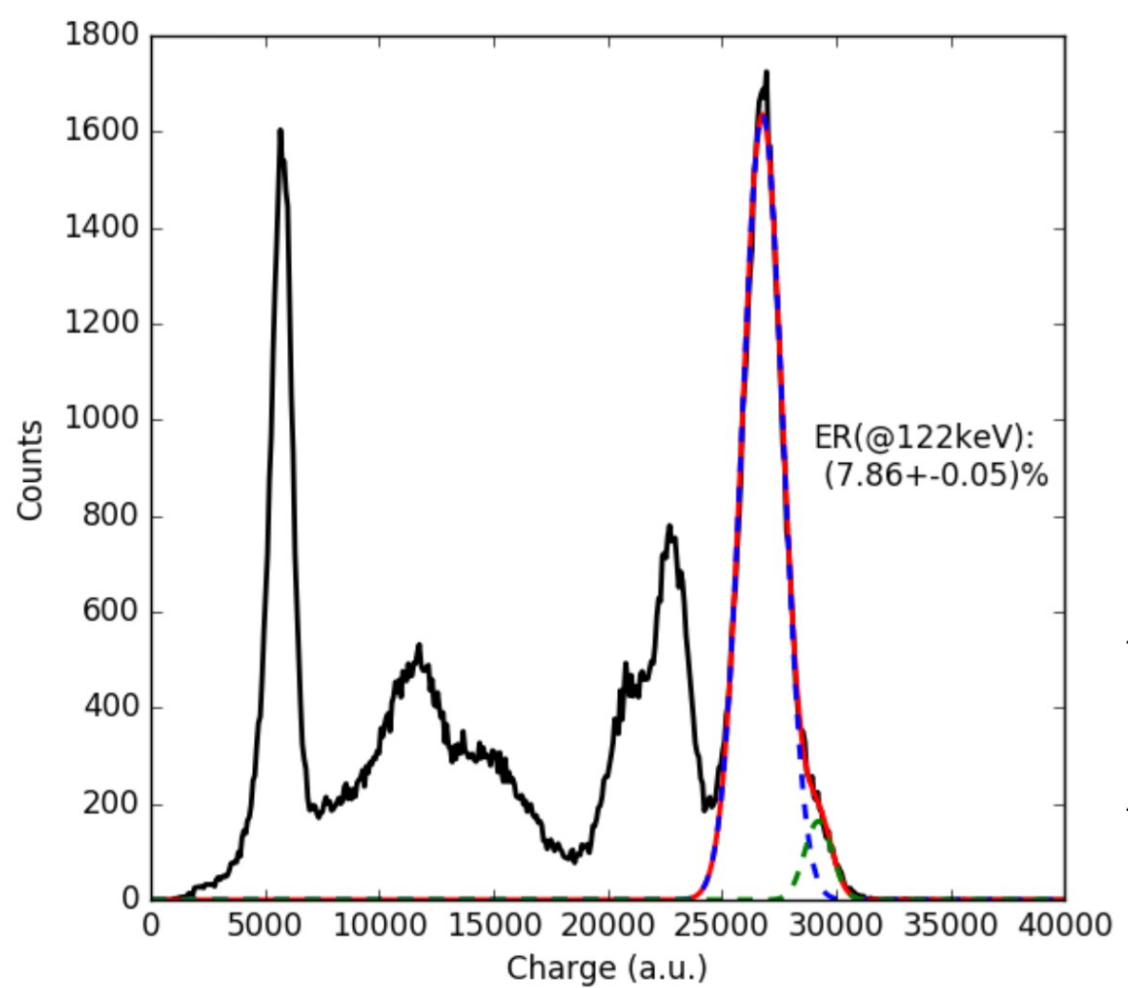


With financial support from ITMO Cancer AVIESAN within the framework of the Cancer Plan  
(AAP Physicancer 2019-2023, THIDOS project)

- 1er prototype
- Champ de vue  $5 \times 5 \text{ cm}^2$
- Scintillateur  $\text{CeBr}_3$  monolithique  $5 \times 5 \times 0.6 \text{ cm}^3$
- Module de photodétection 256 voies MPPC  $3 \times 3 \text{ mm}^2$
- Électronique 256 voies dédiée (LAL)
- Collimateur à trous parallèles tungstène par impression 3D
- Validation sur fantômes

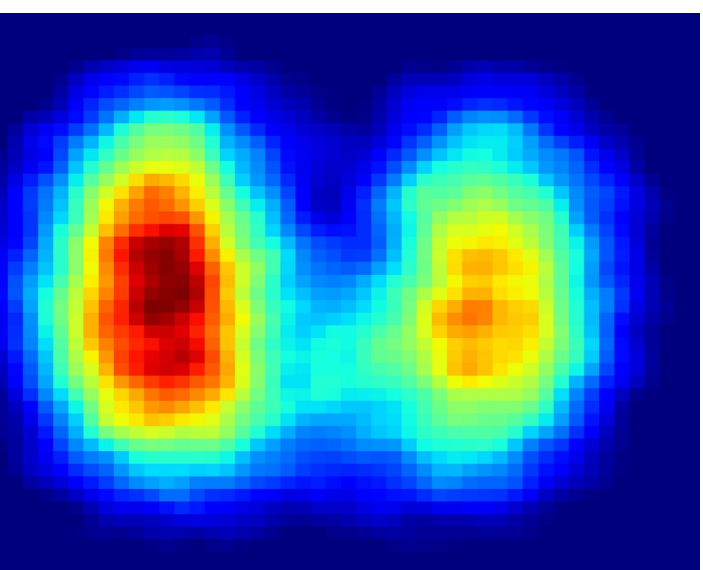
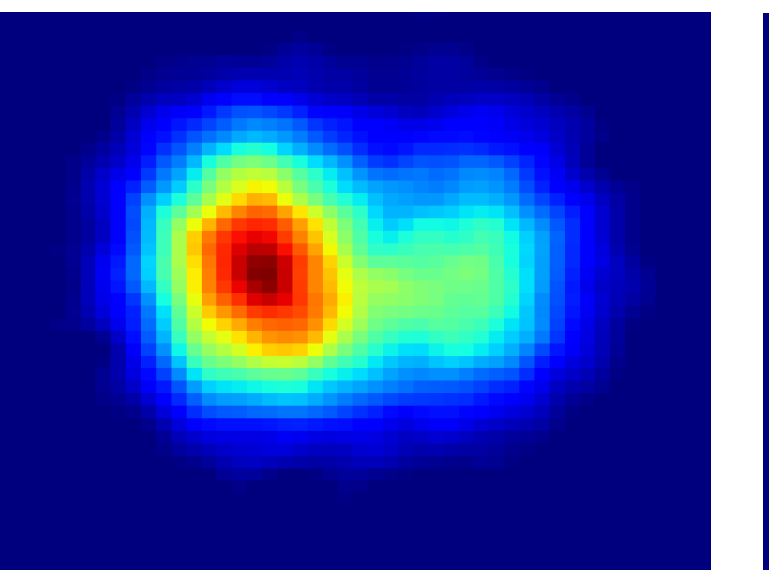
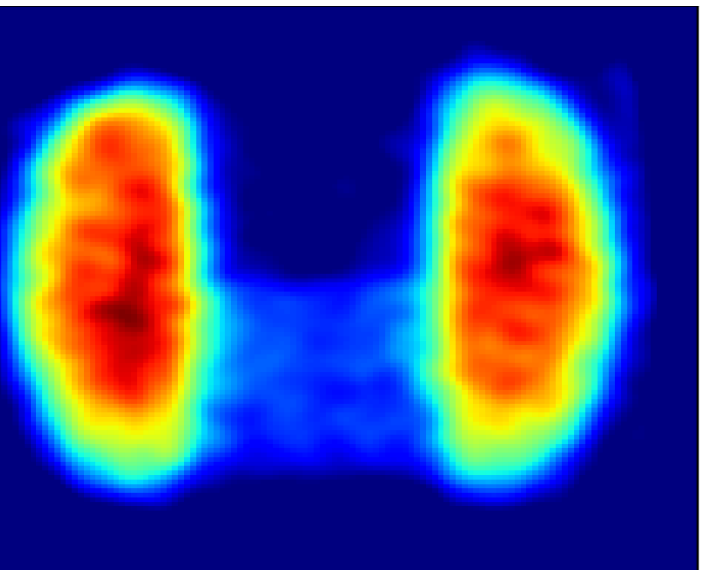
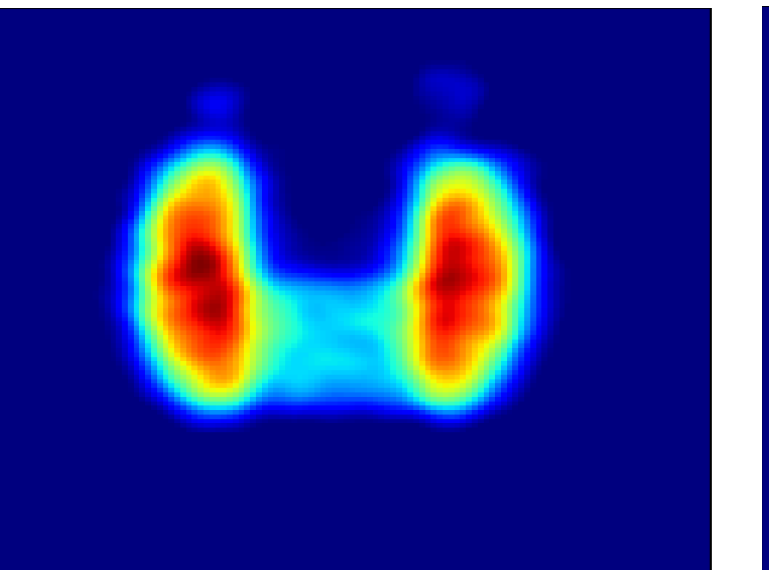


- Résolution spatiale intrinsèque submillimétrique
- Résolution énergie 7.86 % @122 keV
- Taux d'acquisition max  $13.6 \cdot 10^3 \text{ evt/s}$



**High resolution mobile gamma camera**  
@ 0.3 cm

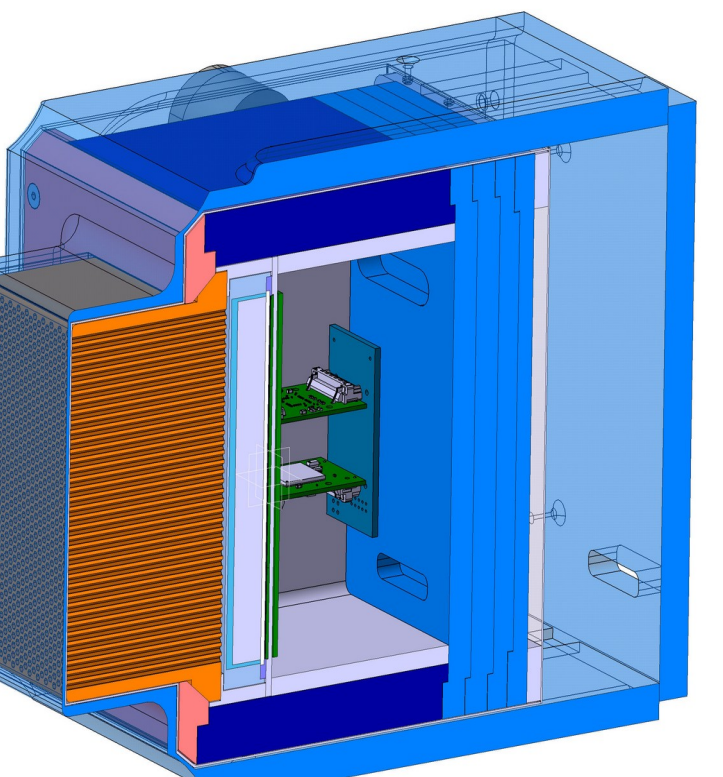
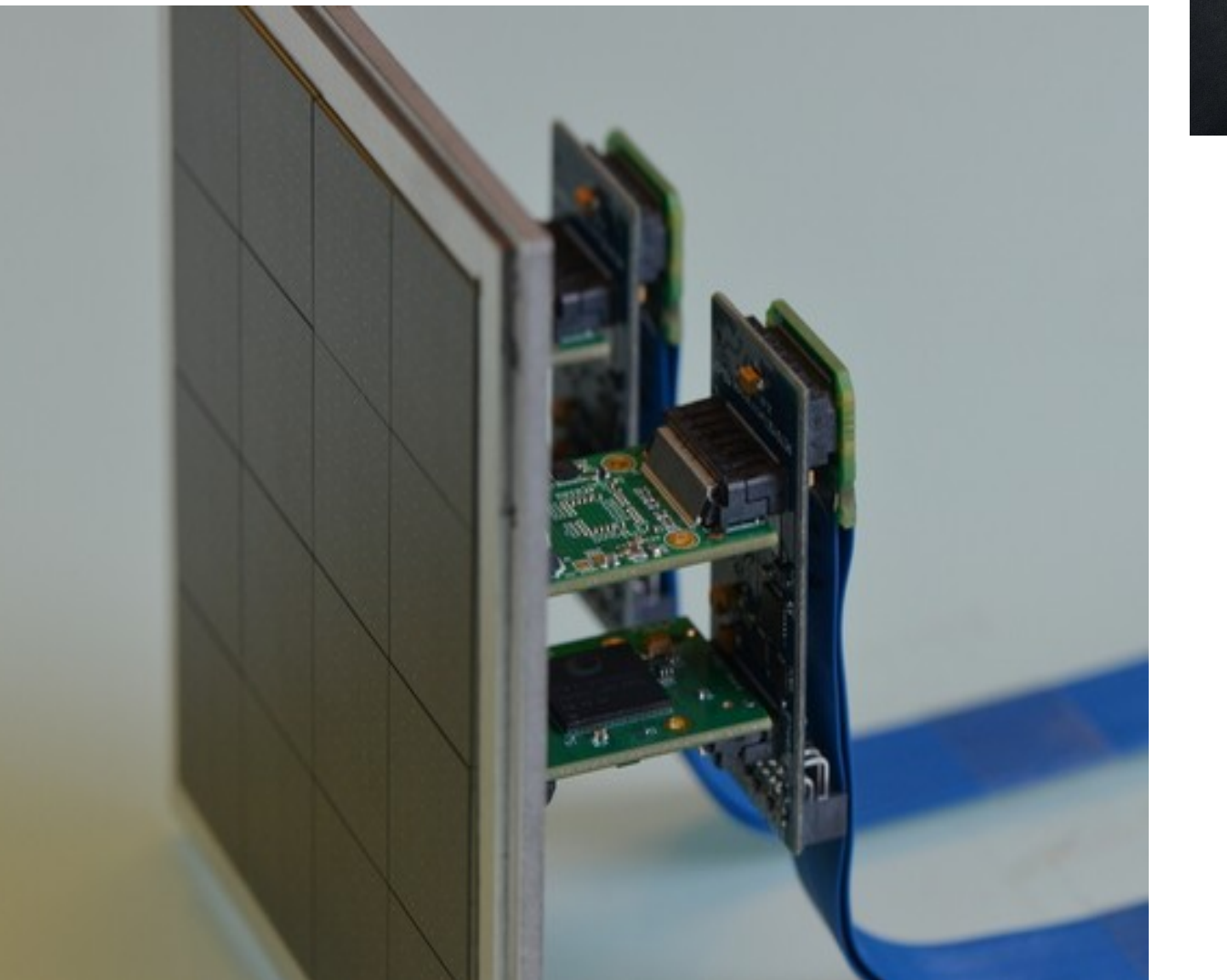
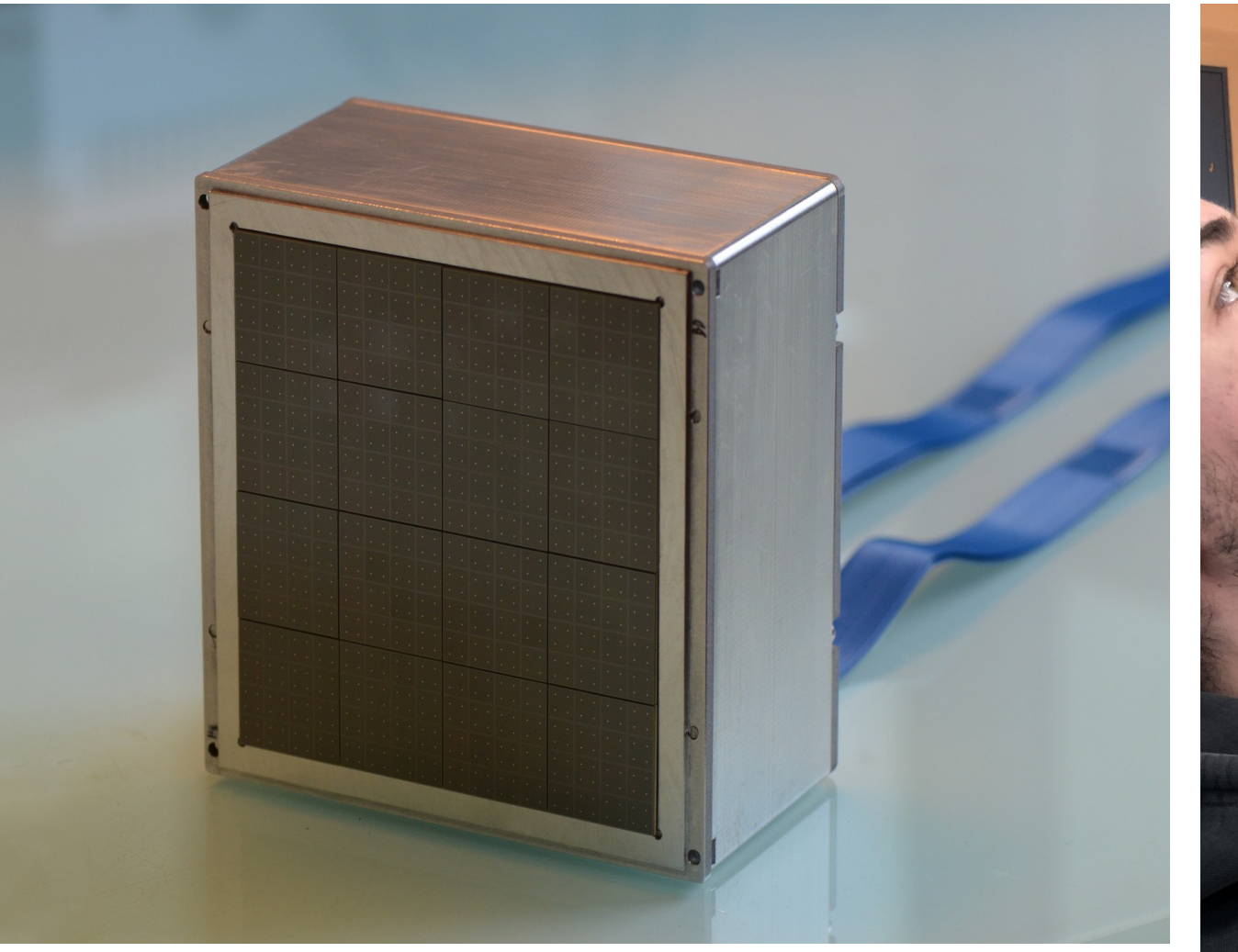
**Gamma Camera Siemens Symbia T2 with HE collimator**  
@ 10 cm  
(SR of 13.4 mm)



Thèse Carlotta Trigila 2019

## Thèse Théo Bossis 2021-2023

- Prototype clinique
  - Champ de vue  $10 \times 10 \text{ cm}^2$
  - Scintillateur CeBr<sub>3</sub> monolithique  $10 \times 10 \times 1 \text{ cm}^3$
  - Module de photodétection 256 voies MPPC  $6 \times 6 \text{ mm}^2$
  - Électronique PETSys 256 voies
  - Collimateur à trous parallèles tungstène par impression 3D
  - Taux d'acquisition max :  $50.10^3 \text{ evt/s}$
  
- Dimensions :  $18 \times 18 \times 20 \text{ cm}^3$
- Poids total : 50 kg
- Poids collimateur : 9 kg



# Endomicroscopie non linéaire multimodale pour l'aide au diagnostic et la biopsie temps réel

IJCLab, resp.: D. Abi Haidar. collaboration: Hôpital Sainte Anne, SOLEIL, BML Florida

## CONTEXT

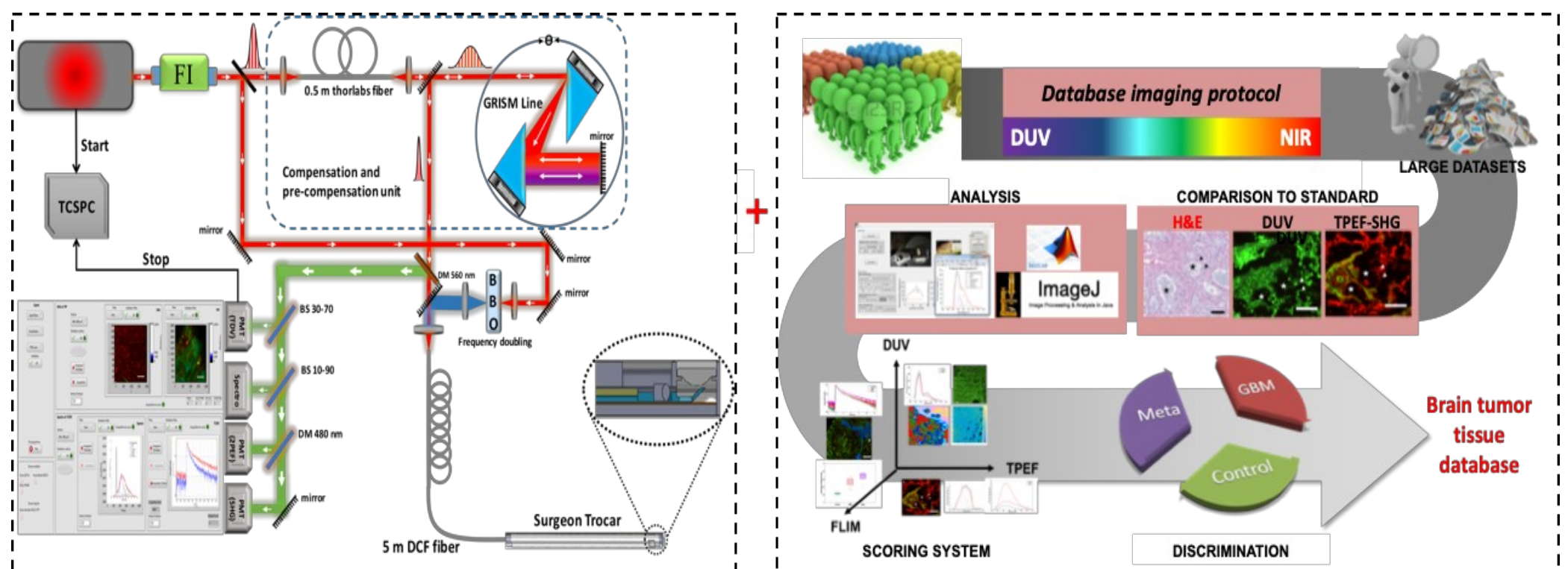
It is mandatory to perform a gross total resection of brain tumor & Minimally invasive surgery is becoming the gold standard in every surgery

**Major challenge:** The 21th neurosurgery requires new devices designed to be integrated into small surgical approaches and able to give fast and precise intraoperative tissue diagnosis, label-free, slide free and in real-time.

## SCIENTIFIC OBJECTIVES

Development of a clinical multimodal non-linear endomicroscope and construction of a large optical database on different brain tissue types

## MATERIALS & METHODS

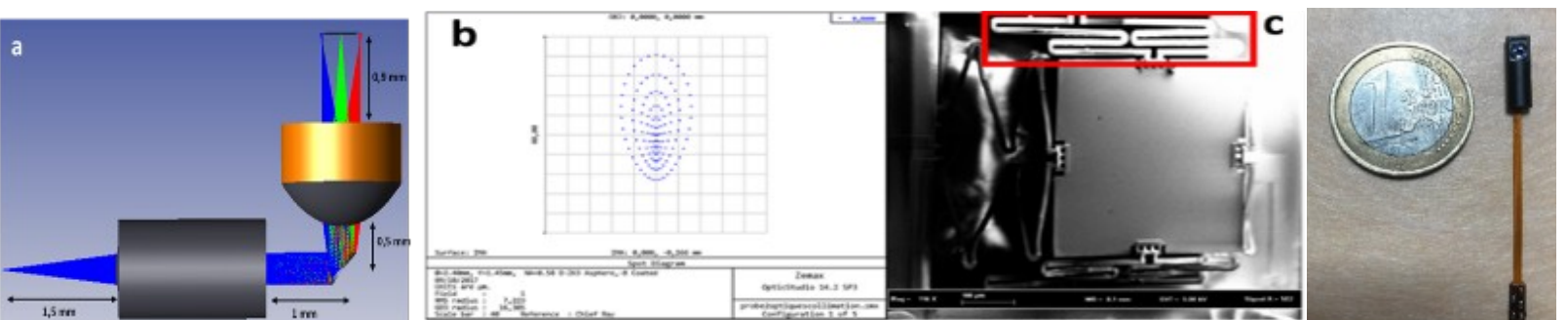


## FINANCIAL SUPPORT

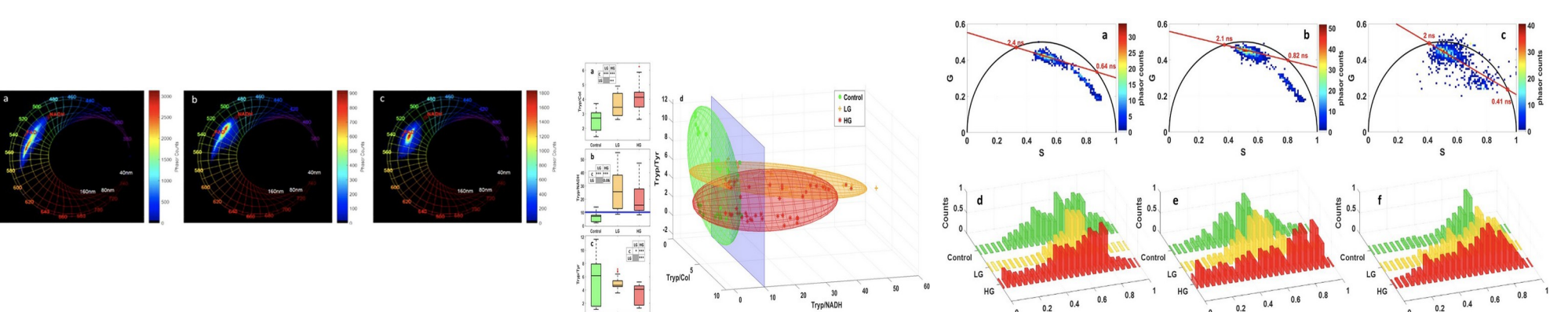
- AP Plan Cancer (projets MEMBO, MEVO, IMOP): **640 keuros**
- Mission pour l'interdisciplinarité "l'instrumentation aux limites"- CNRS: **58 keuros**
- Cancéropôle Île de France **65 keuros**
- AP in2p3: **28 keuros**
- WP3- FLI "Imagerie Interventionnelle": **30 keuros**
- Contrat de prestation de service –Société NANOBACTERIE: **30 Keuros**

## RESULTS

- Développement d'un système de balayage miniature



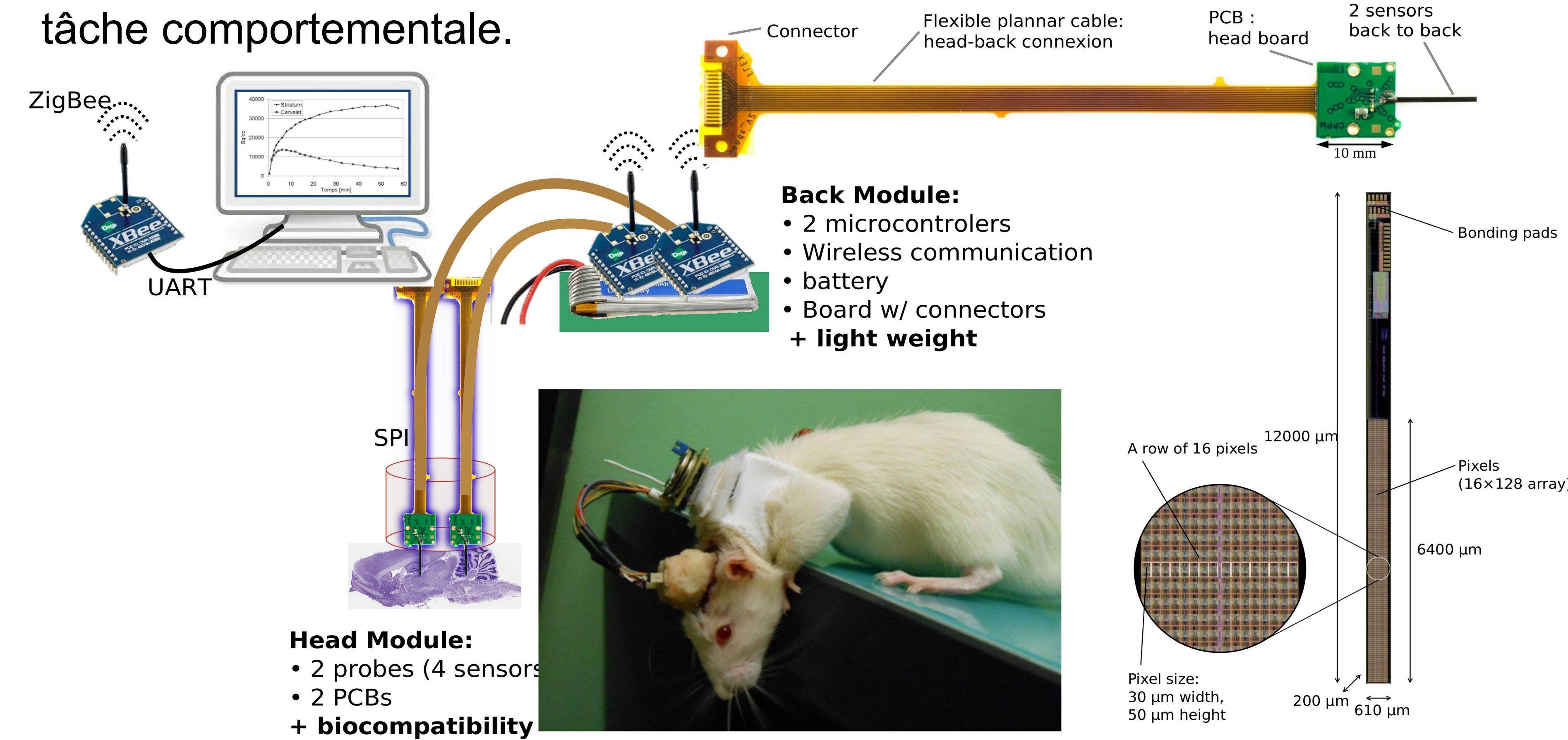
- Optical Signatures Derived From Deep UV to NIR Excitation Discriminates Healthy Samples From Low and High Grades Glioma



- July 2019 clinical trial on the first prototype (PI under writing & discussion with SATT )

# MAPSSIC: une sonde radiosensible télémétrique pour l'imagerie comportementale

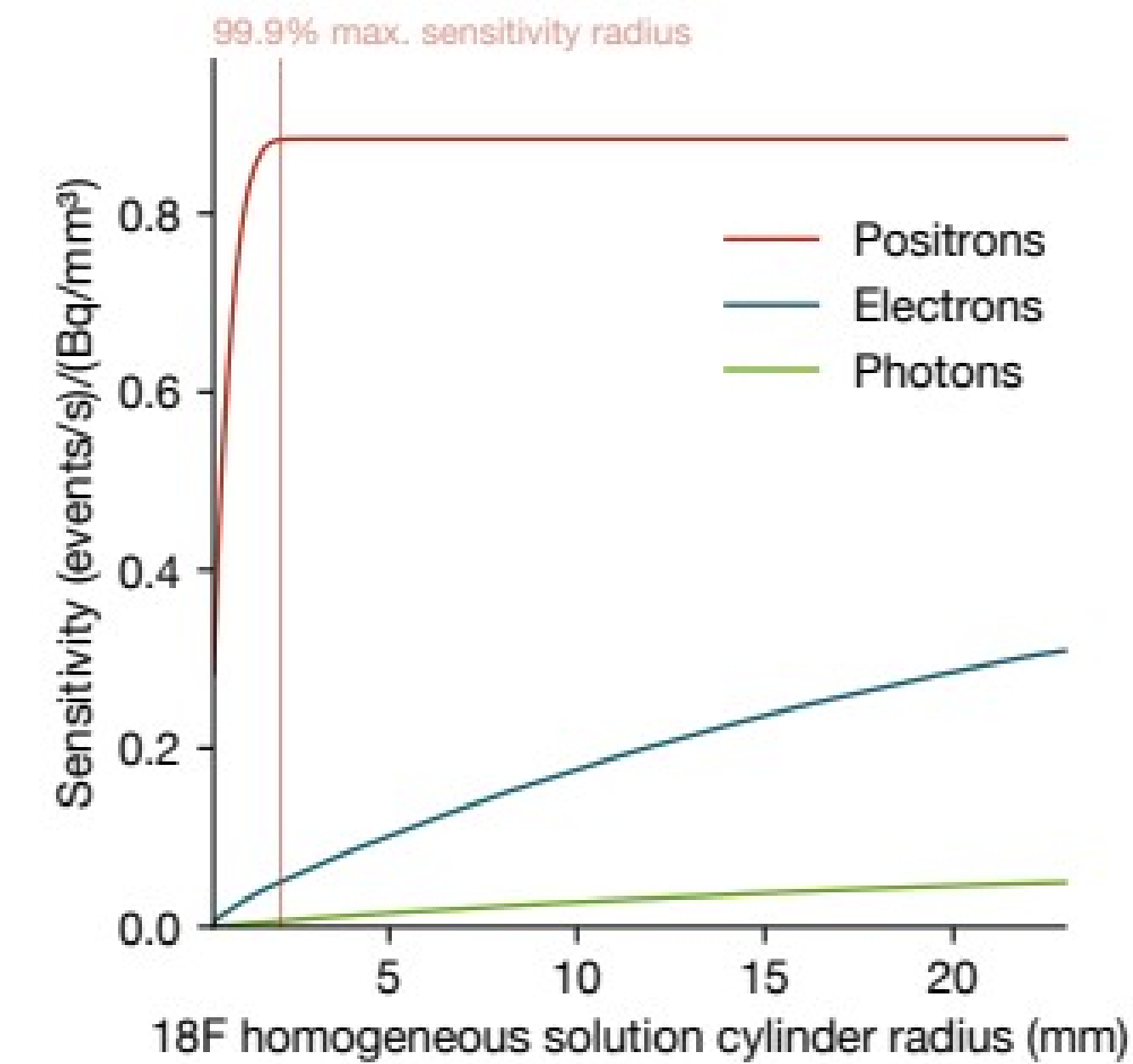
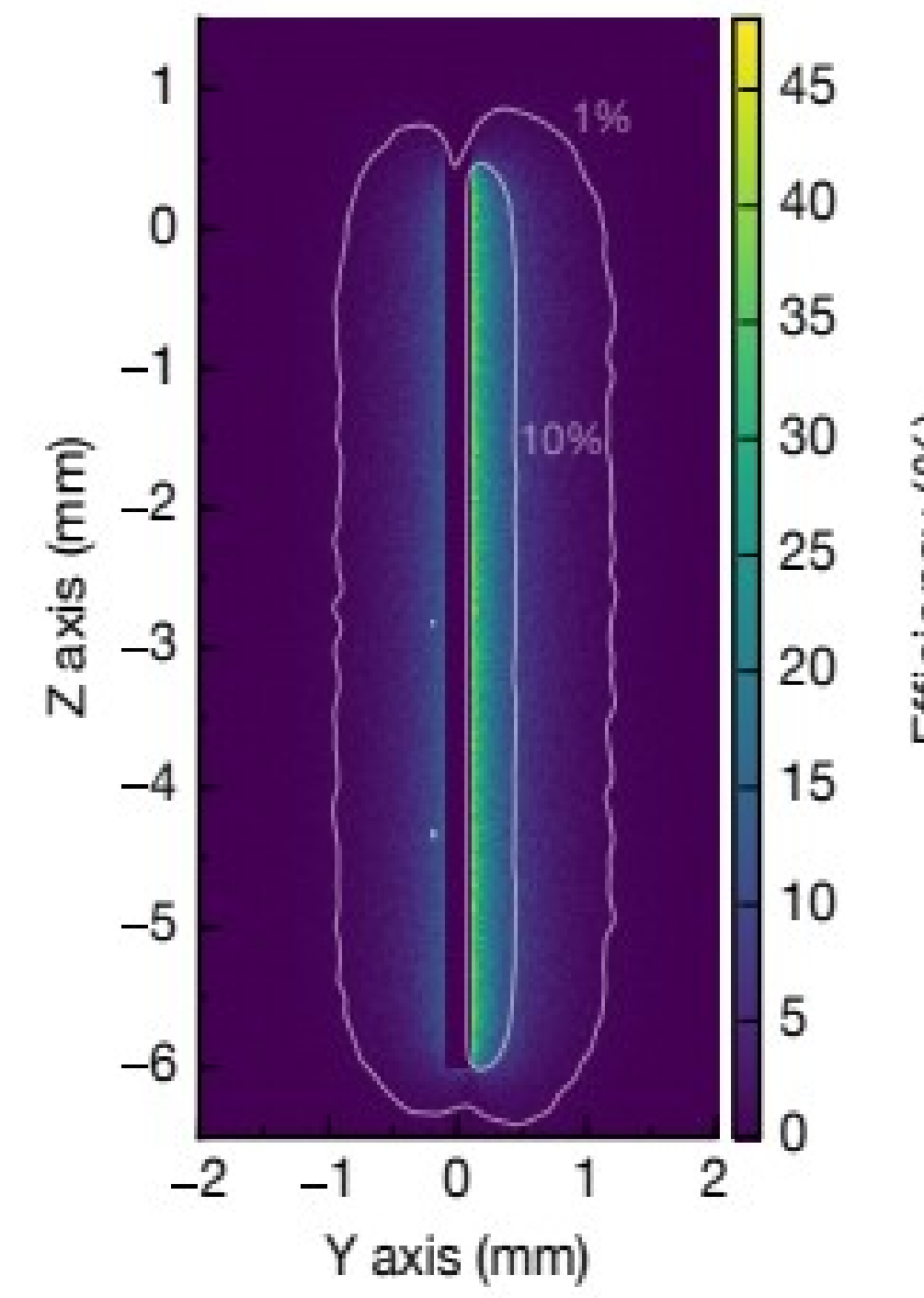
- Complémentaire à l'imagerie TEP : microimplants télémétriques radiosensibles aux  $\beta^+$  laissant l'animal éveillé et libre de ses mouvements et permettant la mesure d'un radiotraceur lors d'une tâche comportementale.



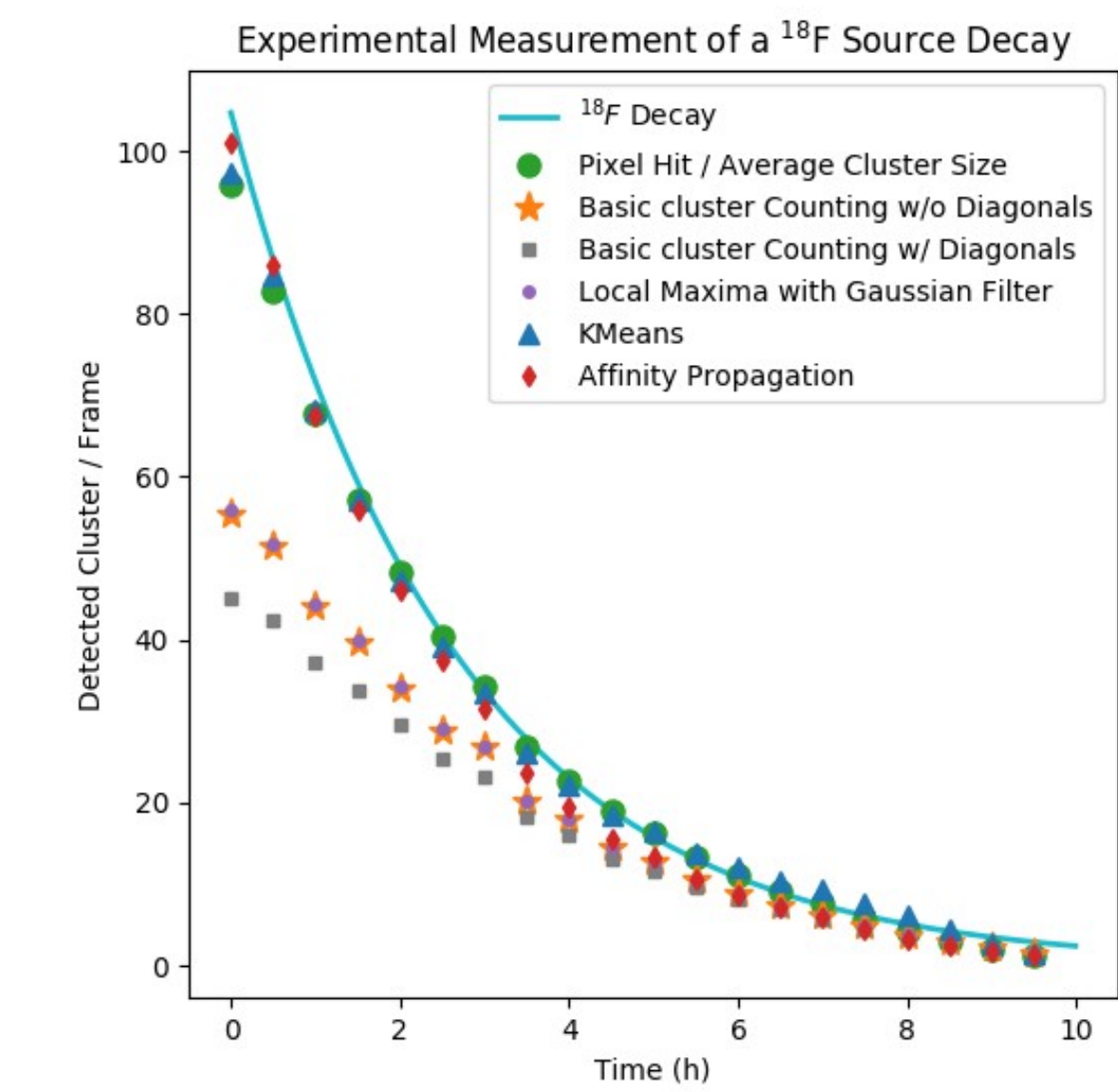
- 1<sup>er</sup> prototype : 2 capteur MAPS montés sur un unique PCB
- Simulations MC pour la validation physique dans une géométrie de cerveau et sur fantômes d'eau.
- Thèse Luis Ammour (2018)

- Courte portée des  $\beta^+$  permet la mesure de la concentration locale de radiotraceurs (simulation MC)
- Comptage d'événements par clustering des images

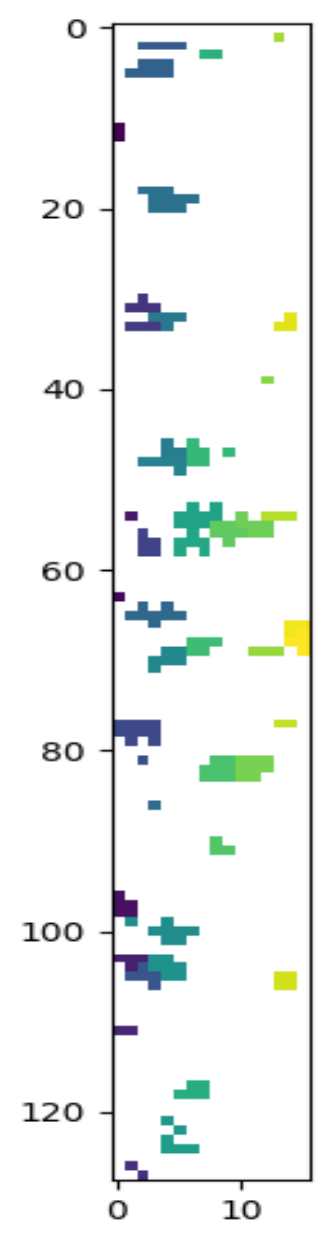
- 2<sup>nd</sup> prototype actuellement en fabrication
- Nouvelle électronique de sac-à-dos
- Connectique carte-tête
- Thèse Samir El Ketara (démarré 2022)



Haute sensibilité aux  $\beta^+$



Correction de la linéarité  
du taux de comptage



# CREATIS Research Lab

CENTRE  
DE LUTTE  
CONTRE LE CANCER  
**LEON BERARD**

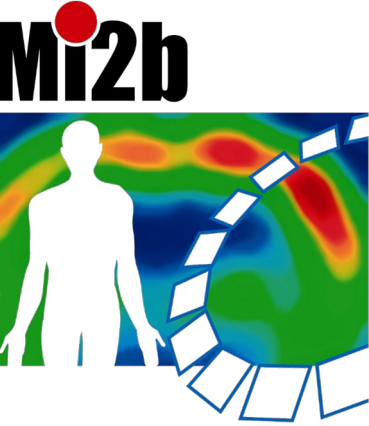


- Image reconstruction
- Monte Carlo simulations
- EBRT and Nuclear Medicine

## Cancer center

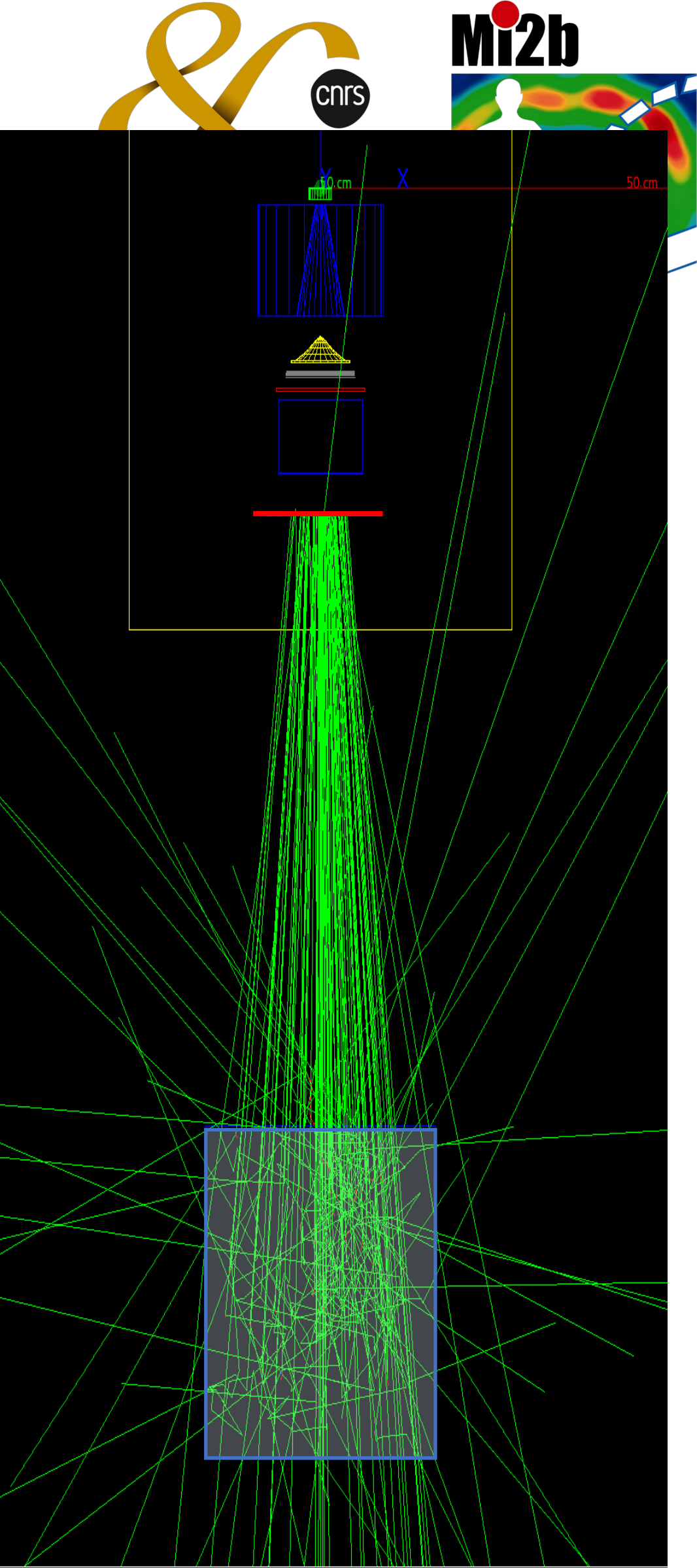
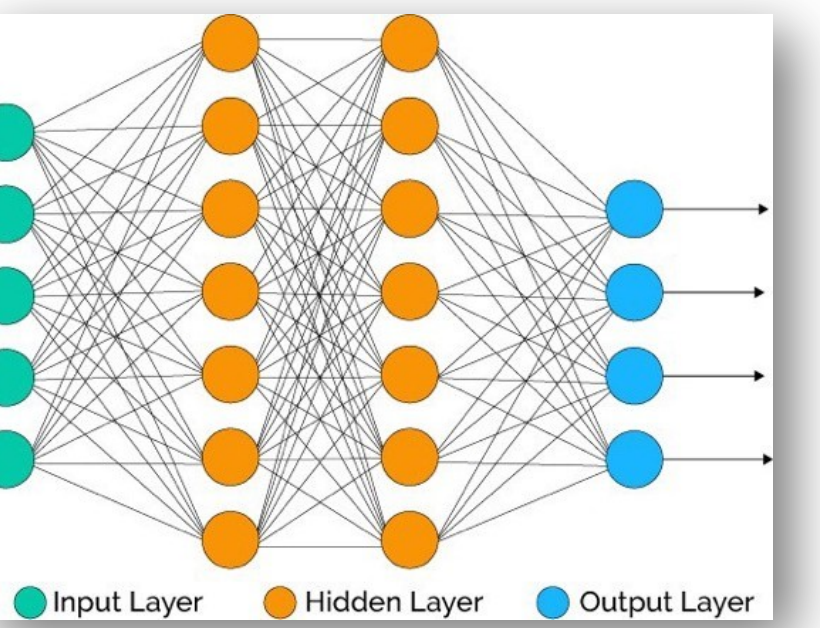


**ONLYLYON** 



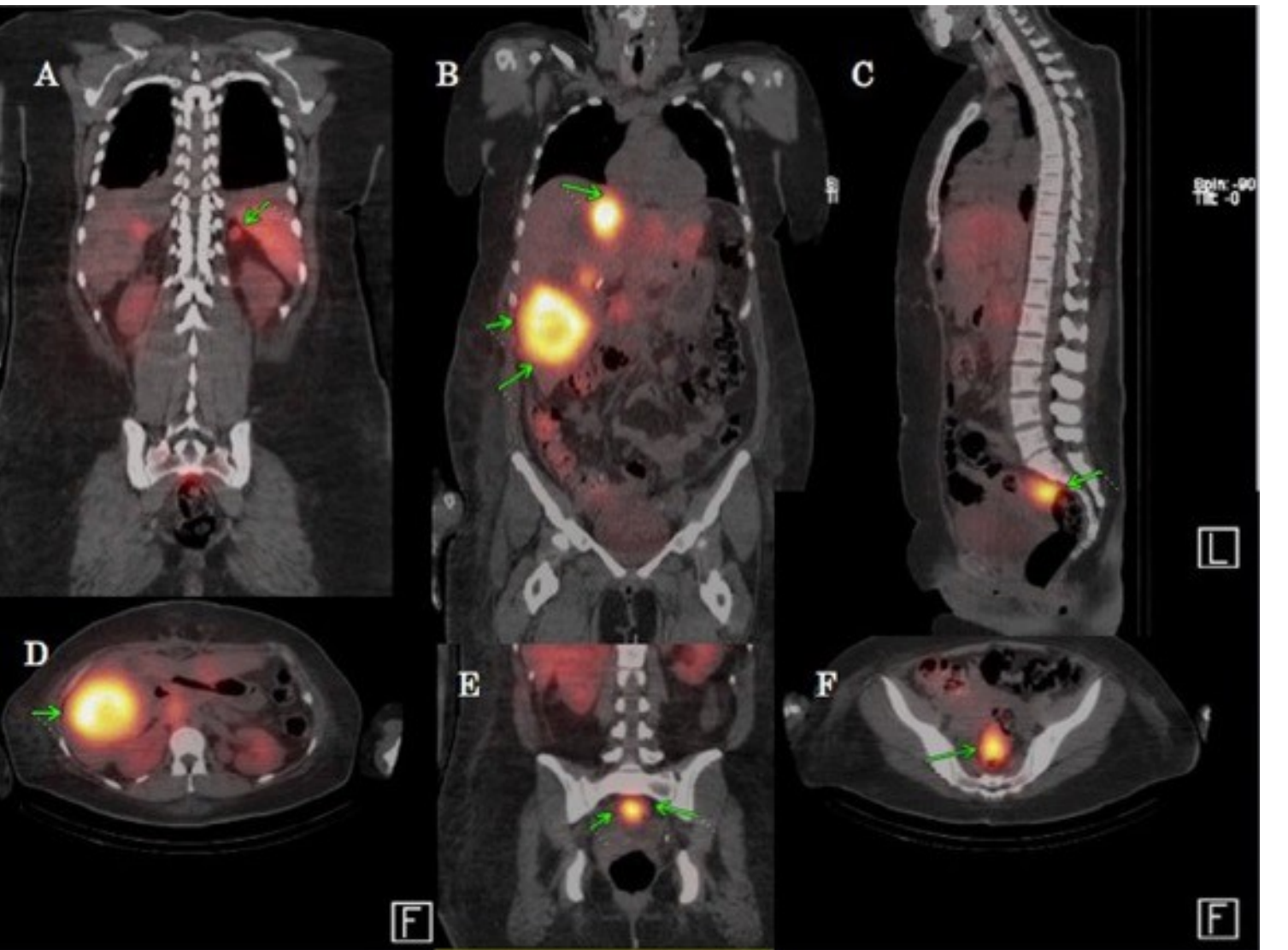
# Activities 1/2

- Monte Carlo simulations
  - **Imaging**: SPECT, PET, Compton Camera, protonCT, CBCT, etc [Salvadori2020, Etxebeeste2020, Winterhalter2020, Labour2021, Elia2020 ...]
  - **Dosimetry**: radionuclide therapy
  - OpenGate collaboration [Sarrut2014, Sarrut2021]
- AI for MC simulations
  - Deep Learning for detector modeling
  - GAN for phase-space modeling
  - [Sarrut2018, Sarrut2019, Sarrut2021]



# Activities 2/2

- Radionuclide therapy dosimetry
  - Lu-177 for NETs and PSMA
  - Y-90 SIRT (liver)
  - Patients from Léon Bérard cancer center
  - Collaboration: Philips, Siemens
  - New Veriton CZT SPECT system
- 4D SPECT reconstruction
  - RTK toolkit
  - Collaboration: Kitware
- Compton Camera
  - For nuclear medicine
  - Collaboration: IP2I, LPSC



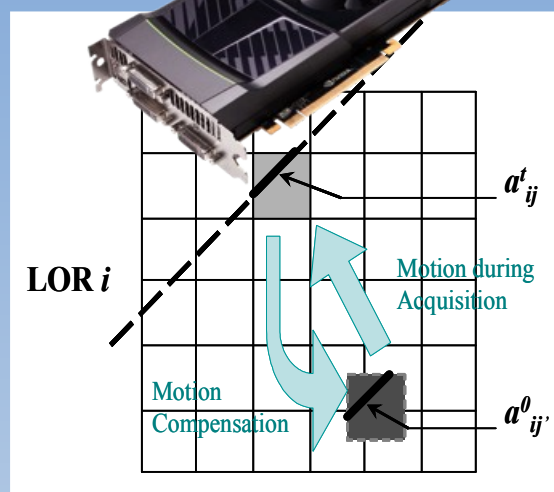
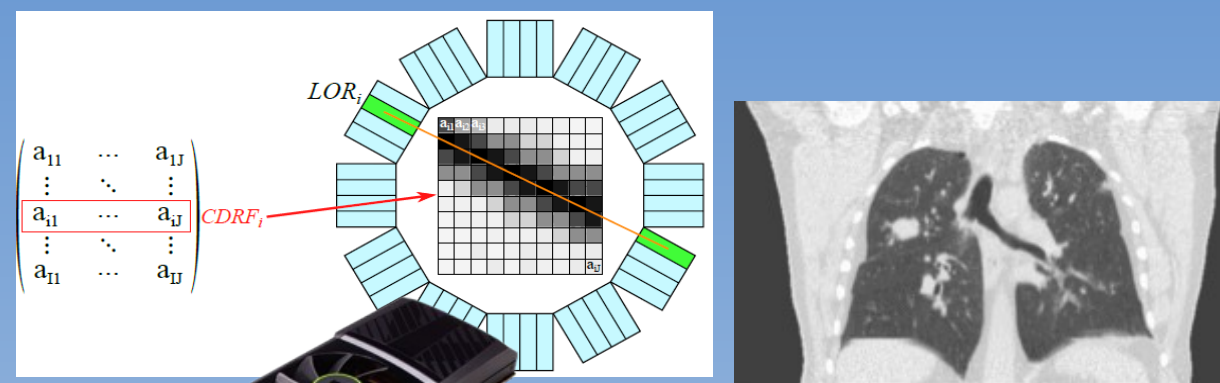
New Veriton-CT SPECT system



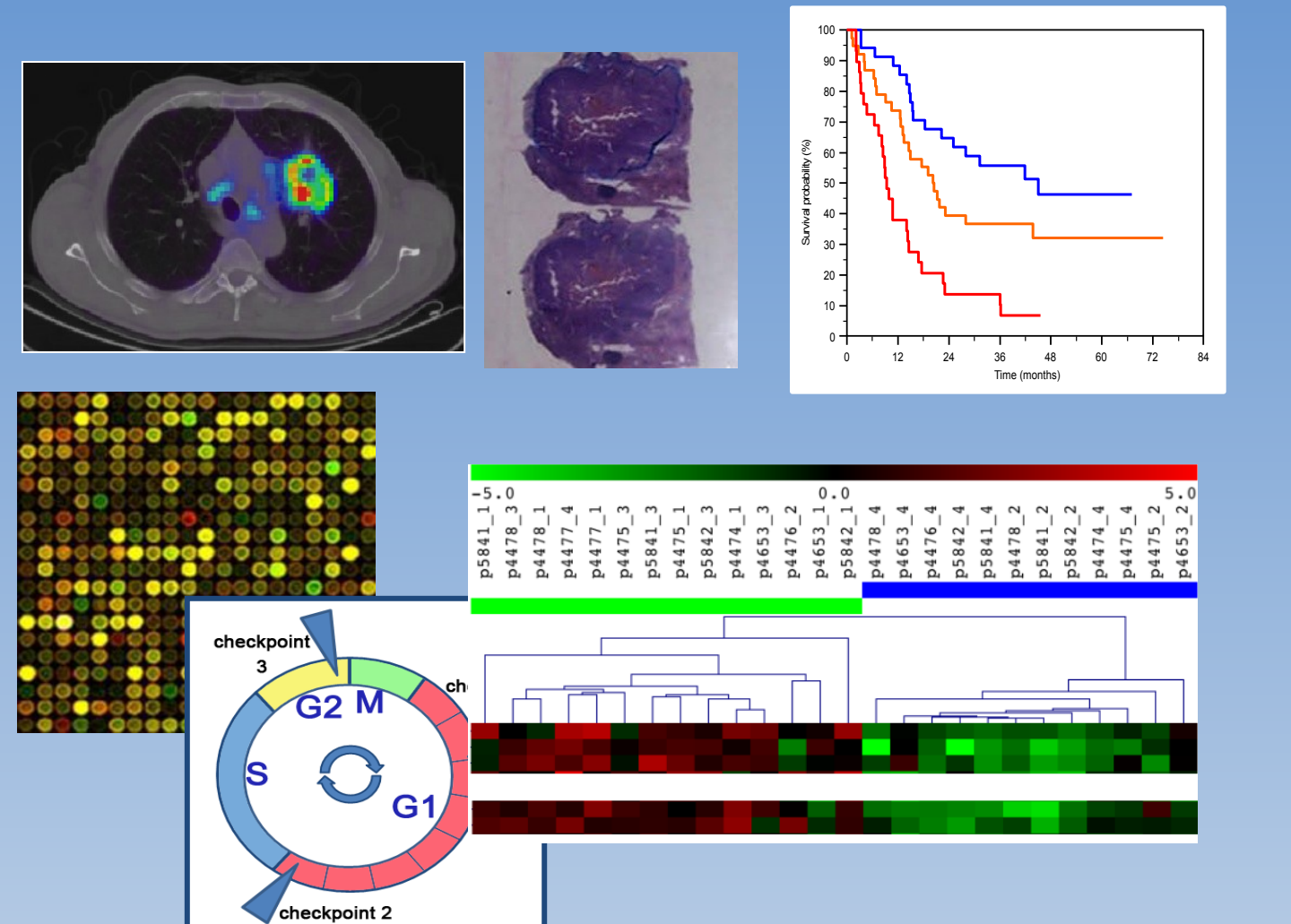
# LaTIM: Team ACTION

## Therapy Action guided by Multimodality Imaging in Oncology

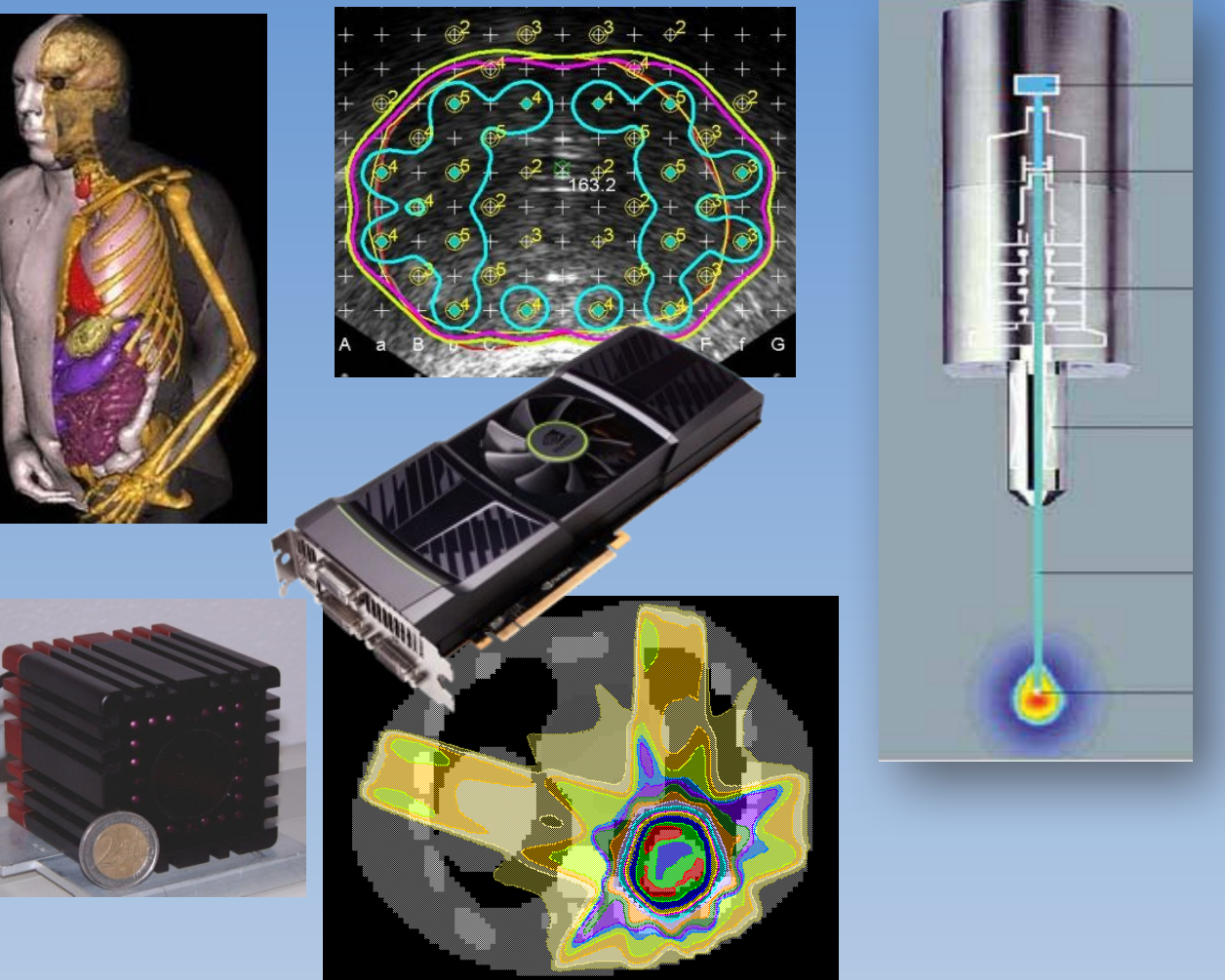
### Axe 1: Multi-dimensional tomographic image reconstruction



### Axe 2: Multi-parametric modeling for therapy optimisation



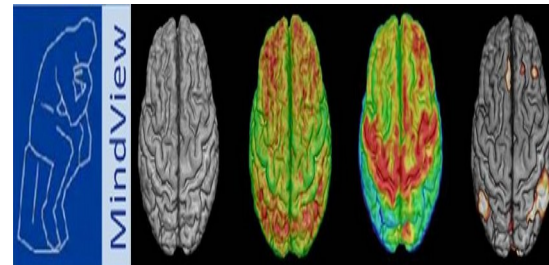
### Axe 3: Image guided radiotherapy and dosimetry



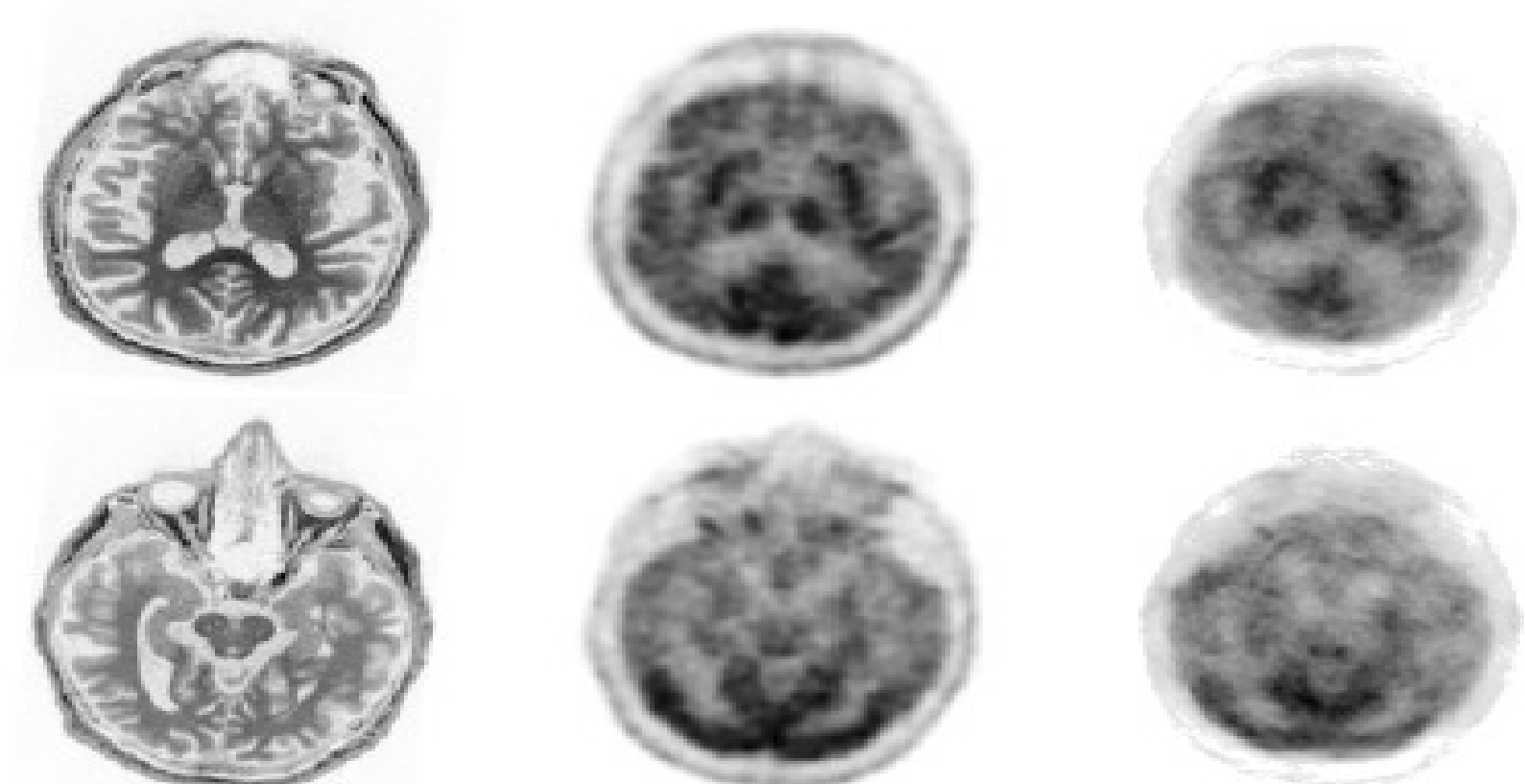
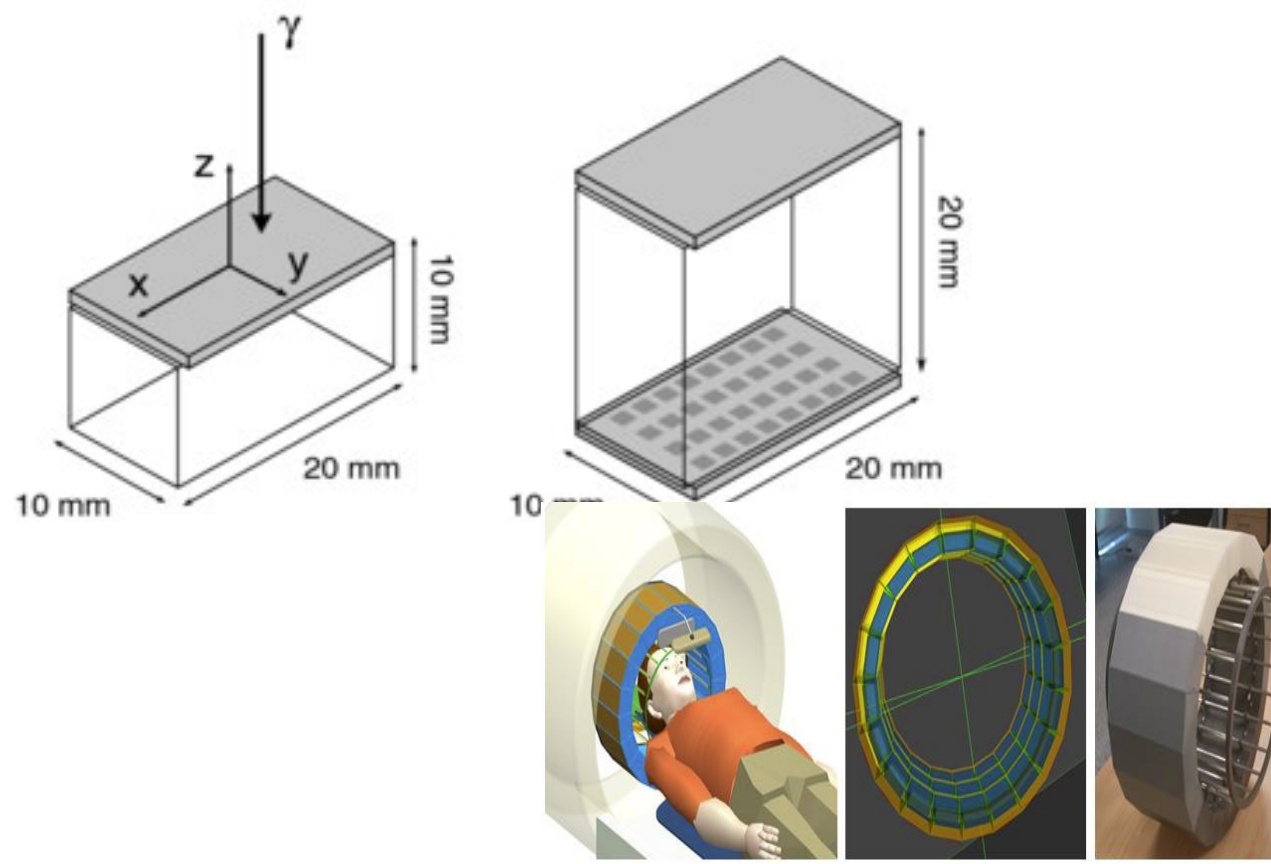
# ✓ Multi-dimensional Image Reconstruction: detector level



- ✓ Use of deep learning for the determination of interactions within monolithic crystals for high resolution PET imaging

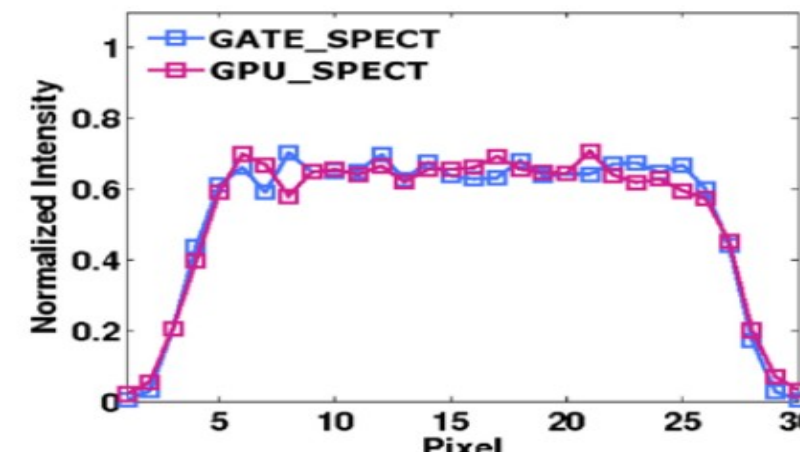
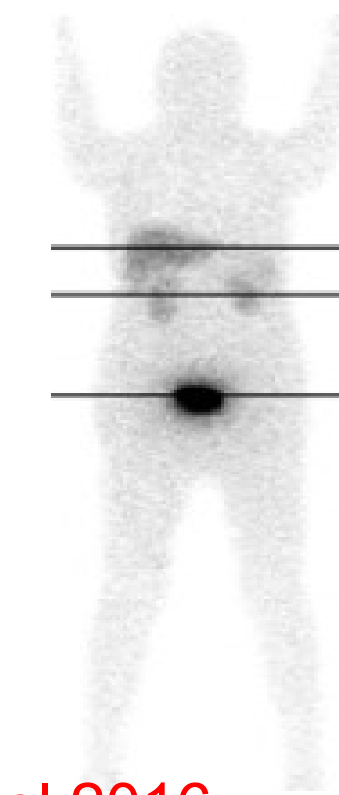
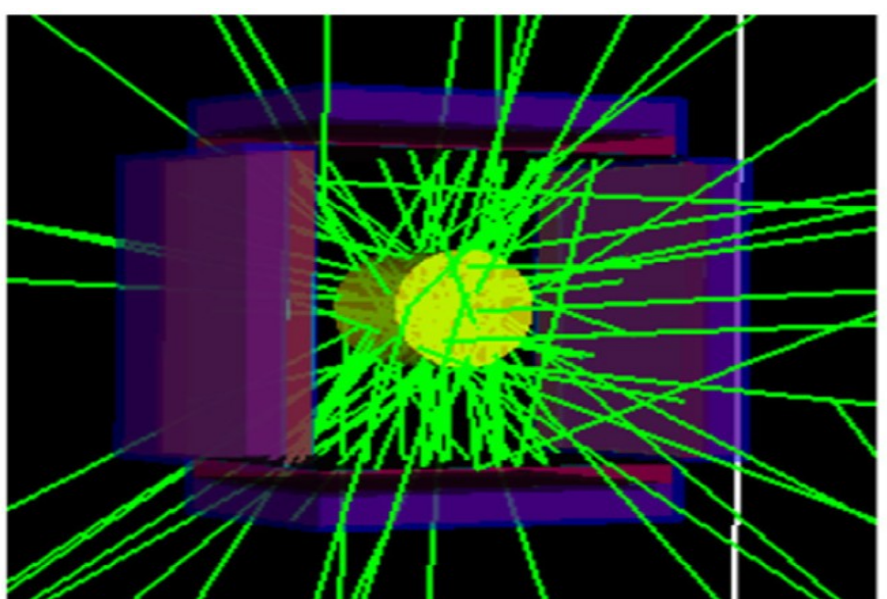


collaboration: Oncovision Valencia,  
INFN Rome, sensL, TUM Munich,  
Karolinska Stockholm



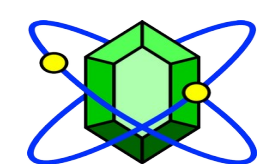
Iborra, Phys Med Biol 2019

- ✓ Fast Monte Carlo Simulation based SPECT system

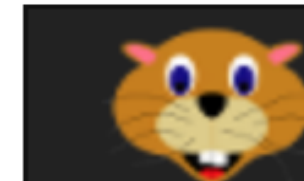
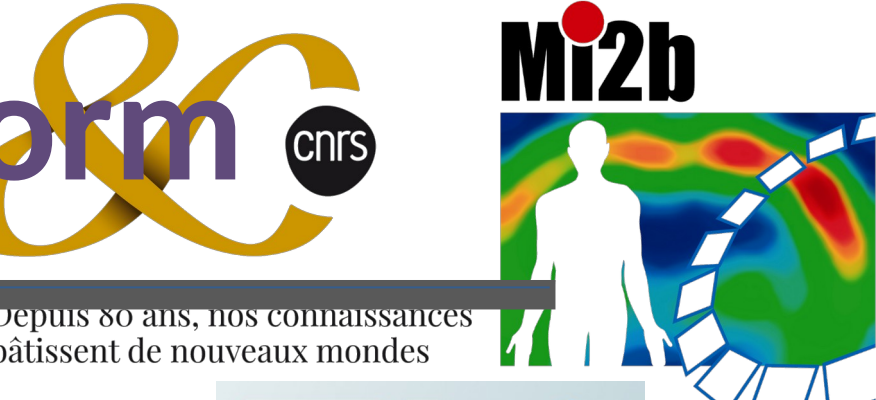


Steps	Activity (GBq)	fmcGATE 1 CPU core	fmcGGEMS GTX 690	fmcGGEMS GTX 980	fmcGGEMS GTX 980 ti
1	7.56	17 days	25h	18h	12h
2	7.58	17 days	26h	20h	13h
3	7.59	18 days	28h	20h	13h
4	7.61	17 days	25h	18h	12h
5	7.62	17 days	25h	18h	12h
Total	37.96	86 days	5 days 9h	4 days	2 days 14h
Acceleration	-	-	16	22	33

Garcia, Phys Med Biol 2016



# Unique Multi-dimensional image reconstruction platform

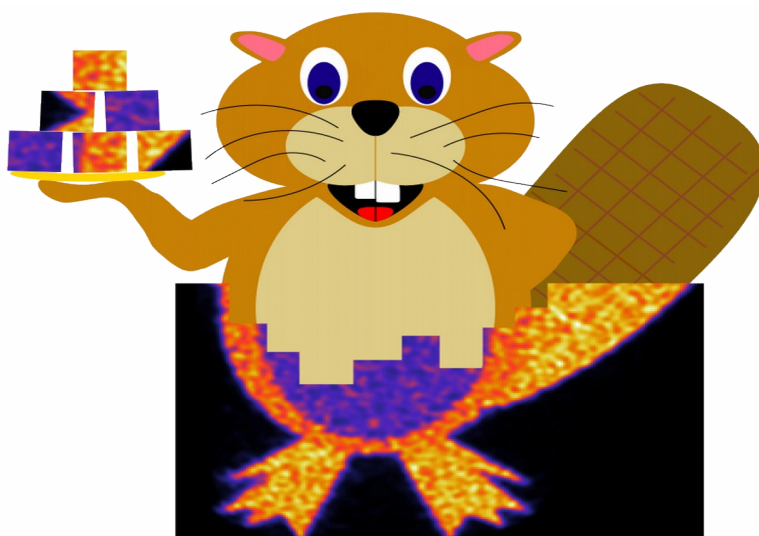


CASToR    Registration    Documentation    Benchmarks    Data converters    Mailing-List    Organization

## CASToR - Customizable and Advanced Software for Tomographic Reconstruction

Search

CASToR is an open-source multi-platform project for 4D emission (PET and SPECT) and transmission (CT) tomographic reconstruction. This platform is a scalable software providing both basic image reconstruction features for "standard" users and advanced tools for specialists in the reconstruction field, to develop, incorporate and assess their own methodologies in image reconstruction (such as specific projectors, optimization algorithms, dynamic data modeling, etc) through the implementation of new classes.



- ✓ 1st public release: May 2017
- ✓ 500 registered users

Merlin, Phys Med Biol 2018

# Multi-parametric modeling for therapy optimisation



Depuis 80 ans, nos connaissances  
bâtissent de nouveaux mondes

## Functional volume segmentation

### MEDICAL PHYSICS

The International Journal of Medical Physics Research and Practice

Task Group Report

Free Access

#### Classification and evaluation strategies of auto-segmentation approaches for PET: Report of AAPM task group No. 211

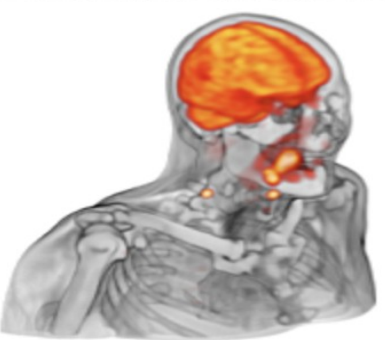
Mathieu Hatt, John A. Lee, Charles R. Schmidlein, Issam El Naqa, Curtis Caldwell ... See all authors ▾

First published: 24 January 2017 | <https://doi.org/10.1002/mp.12124> | Citations: 67

2 licences



#### HECKTOR HEad and neCK TumOR segmentation



**MICCAI2020**  
Lima  
PERU

Sponsored by Siemens Healthineers Switzerland

1<sup>st</sup> out of more than 20

**SIEMENS**  
Healthineers



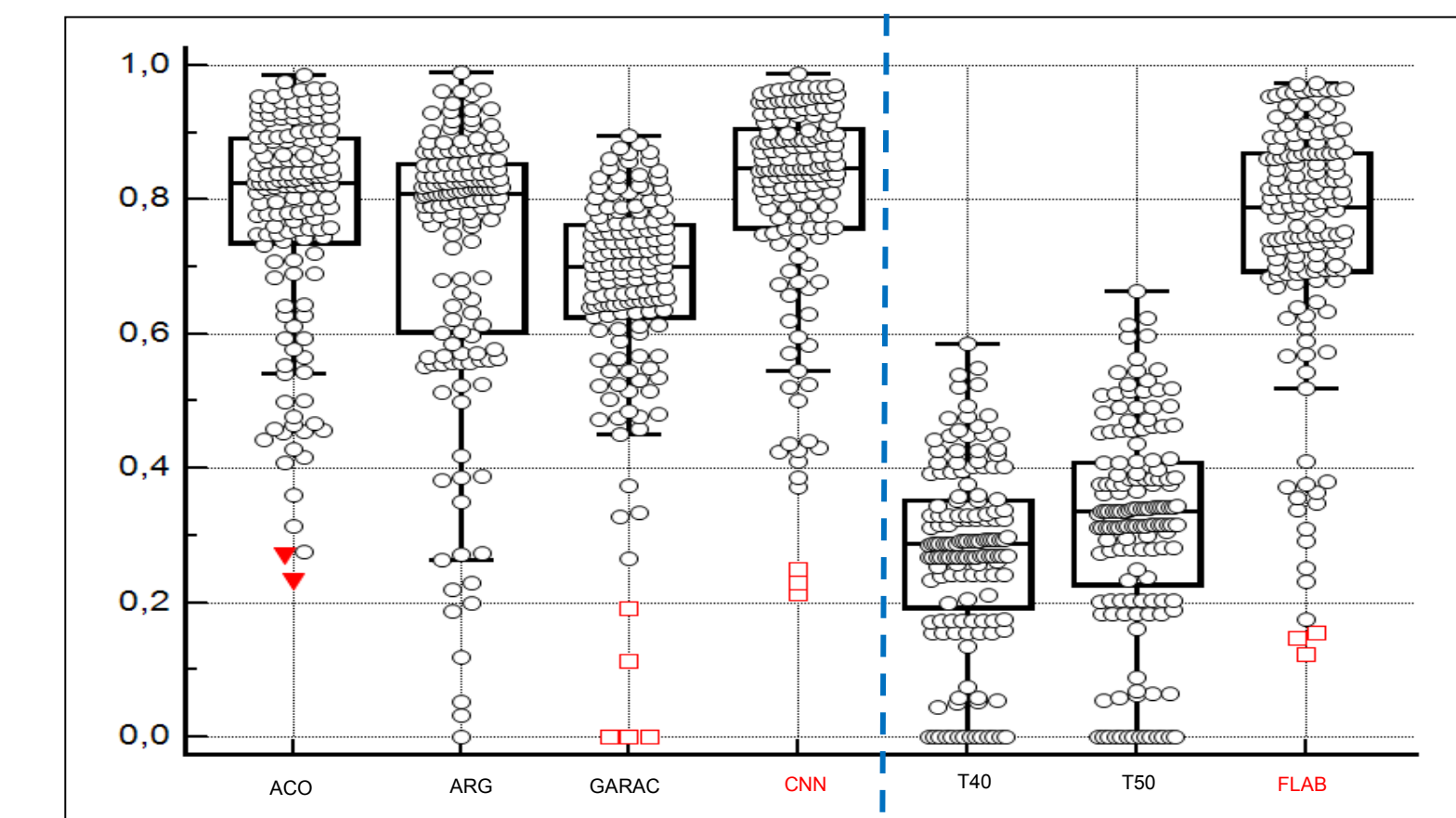
Medical Image Analysis  
Volume 44, February 2018, Pages 177-195



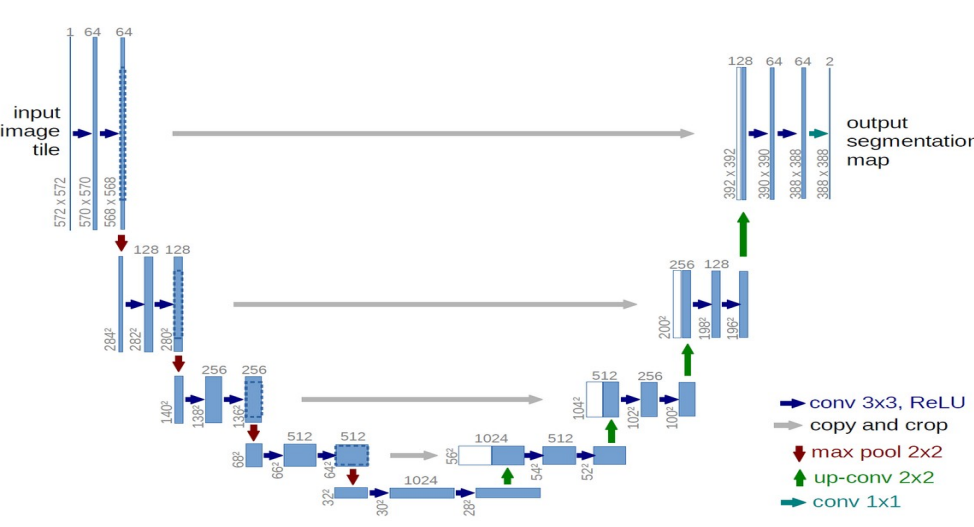
#### The first MICCAI challenge on PET tumor segmentation

Mathieu Hatt <sup>a</sup> Baptiste Laurent <sup>a</sup>, Anouar Ouahabi <sup>a</sup>, Hadi Fayad <sup>a</sup>, Shan Tan <sup>b</sup>, Laquan Li <sup>b</sup>, Wei Lu <sup>c</sup>, Vincent Jaouen <sup>a</sup>, Clovis Tauber <sup>d</sup>, Jakub Czakon <sup>e</sup>, Filip Drapejkowski <sup>e</sup>, Witold Dyrka <sup>e, f</sup>, Sorina Camarasu-Pop <sup>g</sup>, Frédéric Cervenansky <sup>g</sup>, Pascal Girard <sup>g</sup>, Tristan Glatard <sup>h</sup>, Michael Kain <sup>i</sup>, Yao Yao <sup>i</sup> ... Dimitris Visvikis <sup>a</sup>

HCERES



Hatt, Med Im Anal 2018

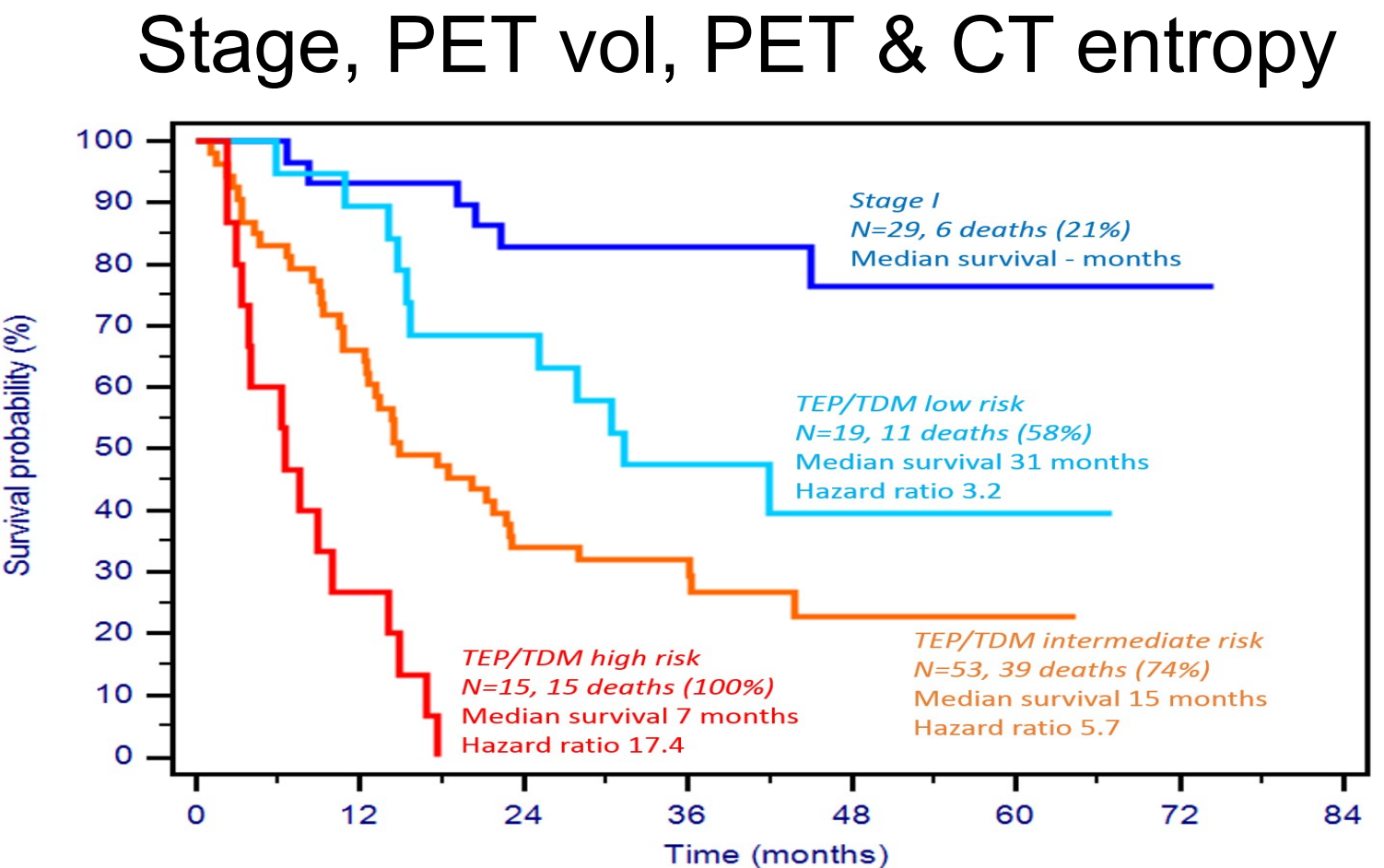
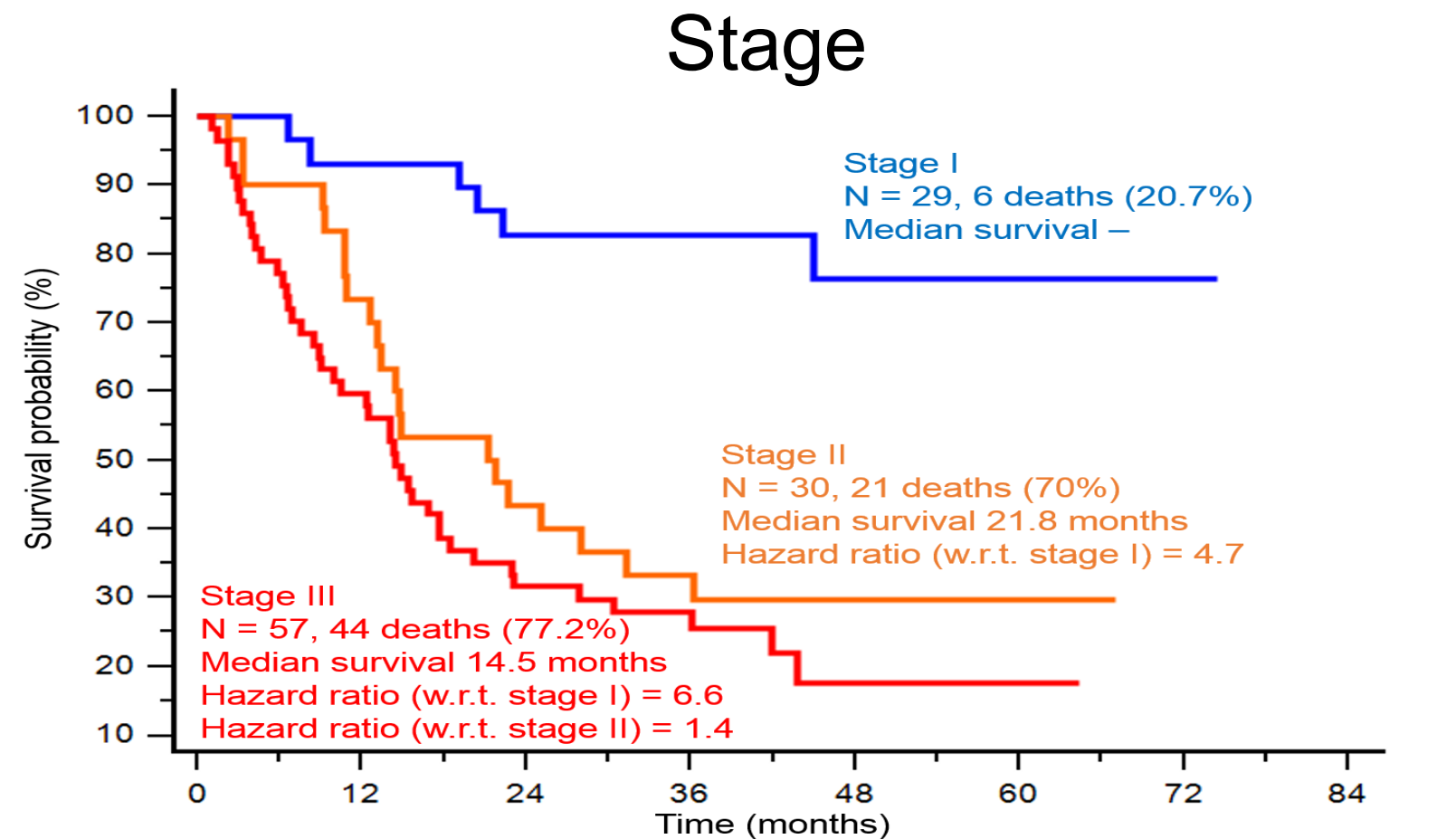
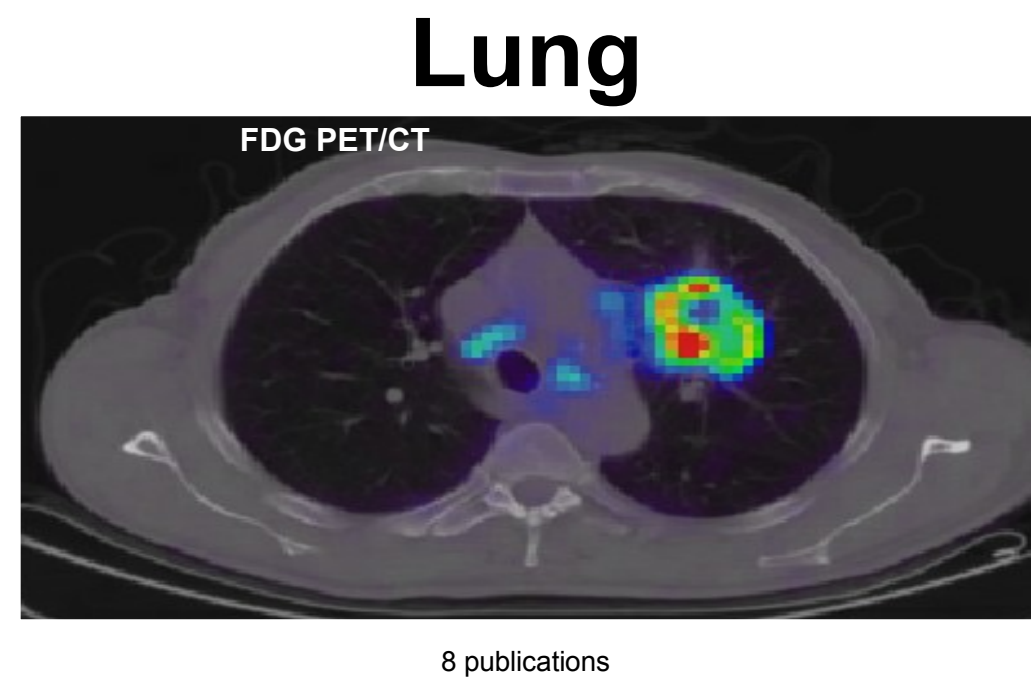


Iatsen, Eur J Nucl Med 2021

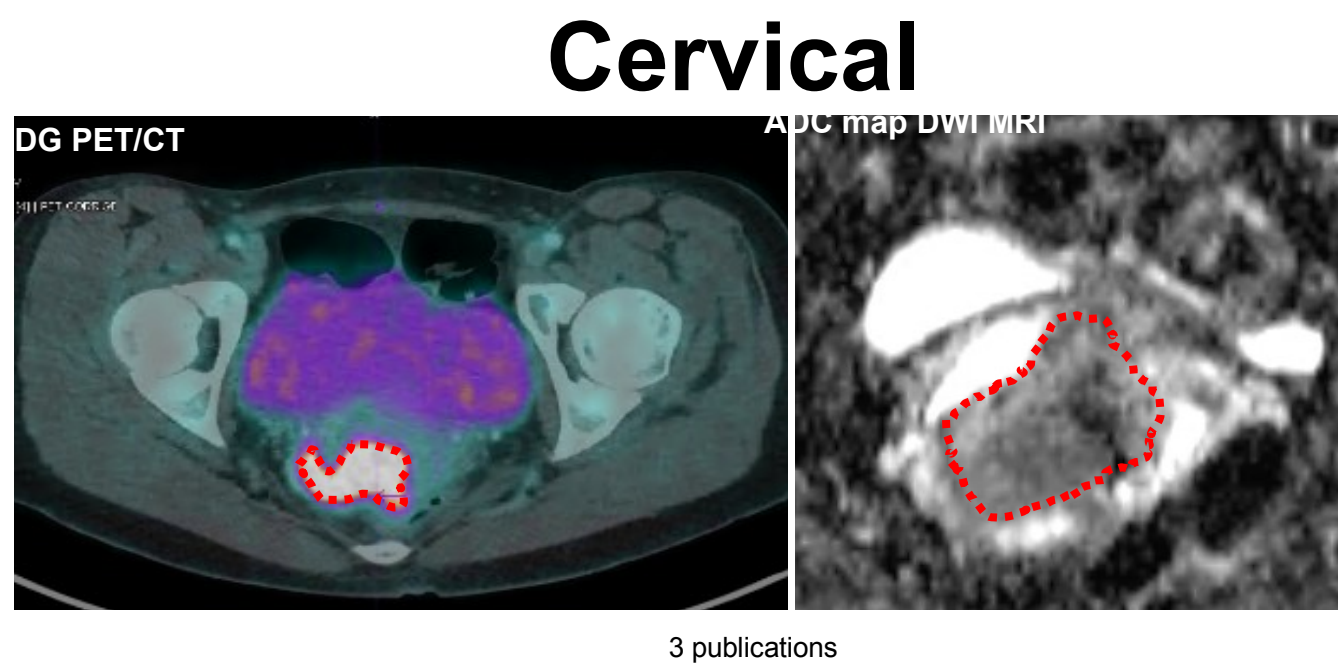


4<sup>th</sup> out of more than 120

# Radiomics investigations

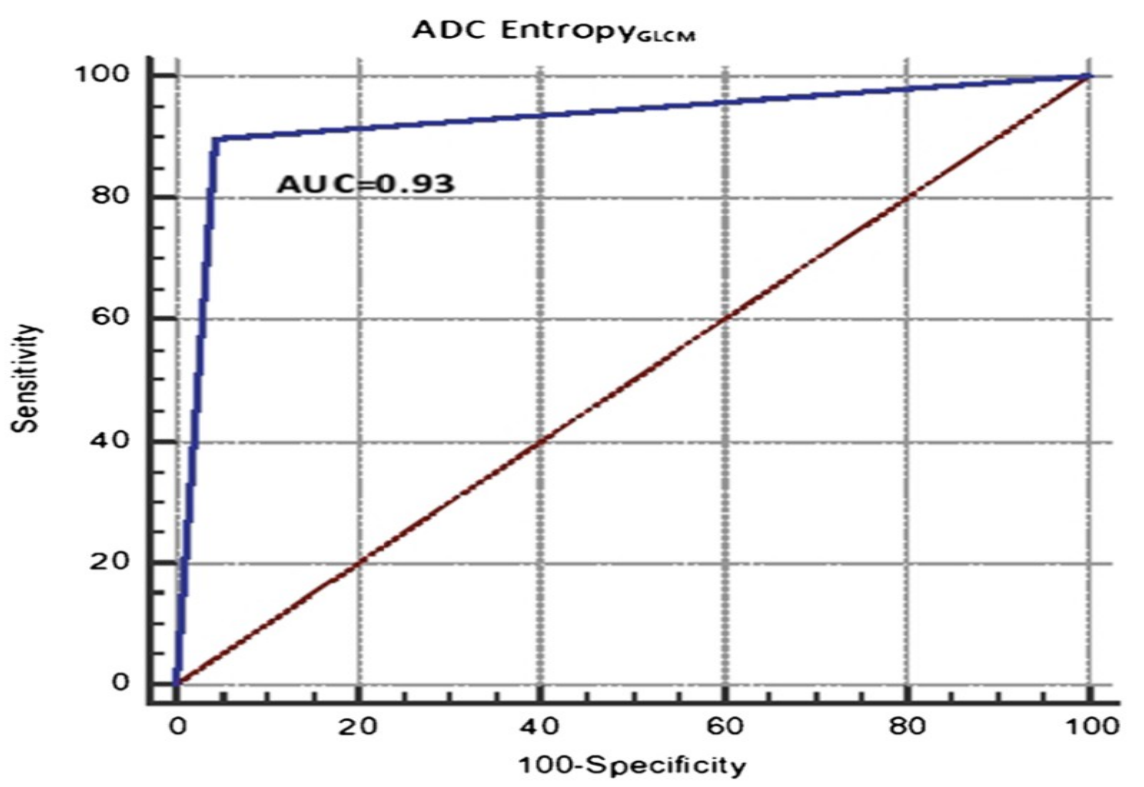


Desseroit, Eur J Nucl Med 2016

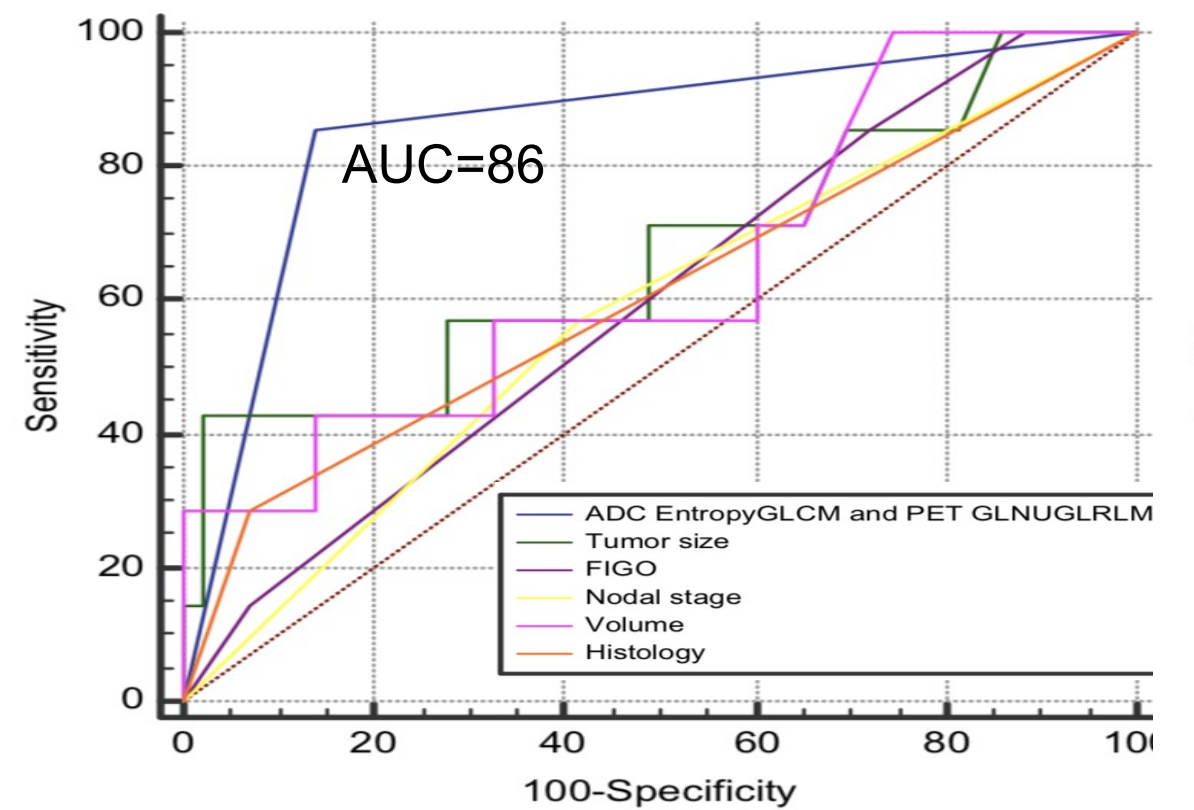


PRTK PRINCE: prospective study (>250 patients included)

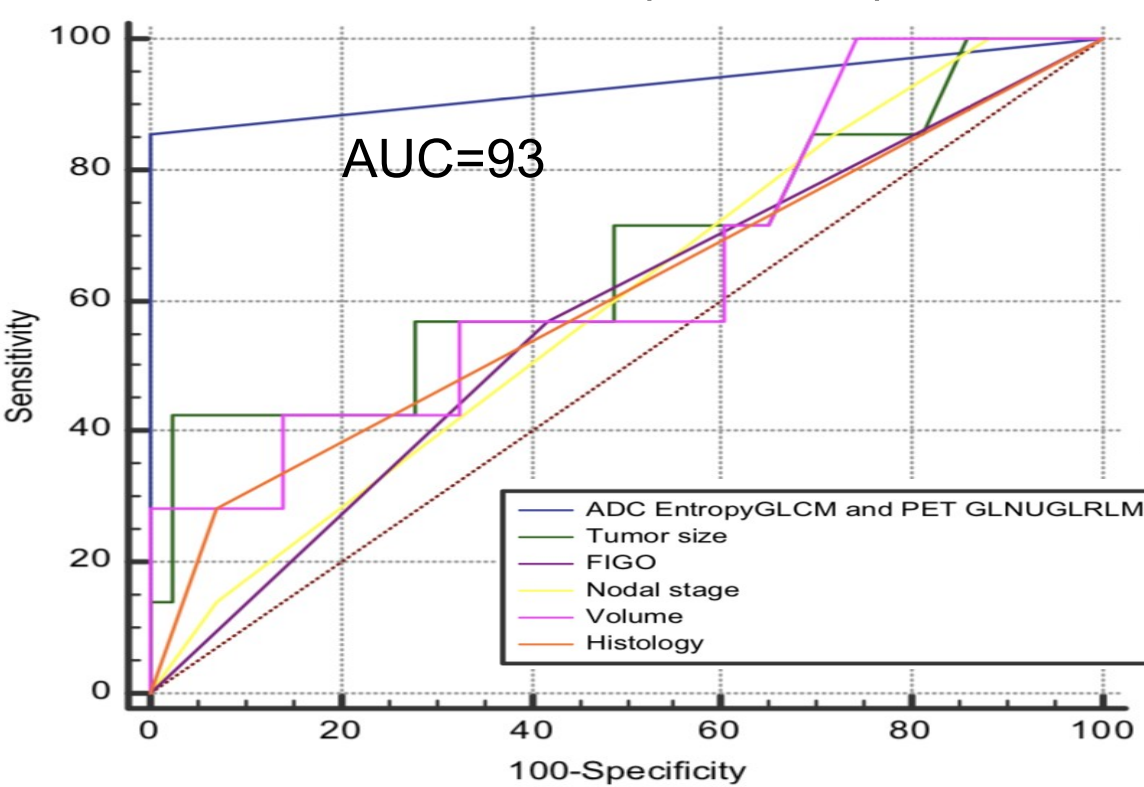
Center 1 (validation)



Center 2 (non-harmon)



Center 2 (harmon)



Inter-site and Intra-site model validation

Lucia, Eur J Nucl Med 2019, 2020